

МИНИСТЕРСТВО ОБРАЗОВАНИЯ И НАУКИ РОССИЙСКОЙ ФЕДЕРАЦИИ  
ФЕДЕРАЛЬНОЕ АГЕНТСТВО ПО ОБРАЗОВАНИЮ

Марийский Государственный Технический Университет

Кафедра Радиотехники и связи

# Усилитель постоянного тока, активные фильтры

Пояснительная записка

к курсовой работе

по дисциплине «Основы схемотехники АЭУ»

Выполнил: студент группы ЗРРТ-



Проверил: доцент кафедры РТ и С

Бастракова М. И.

Йошкар-Ола  
2010

## Задание на курсовую работу

Разработать усилитель постоянного тока.

Исходные данные:

- напряжение питания, В ..... 12;
- приращение входного напряжения, мВ ..... 12;
- приращение выходного напряжения, В ..... 6;
- выходное напряжение в режиме покоя, В ..... 0;
- температура окружающей среды, °С ..... 25.

При проектировании усилительных устройств необходимо:

- выбрать и обосновать электрическую принципиальную схему усилительного устройства;
- выполнить предварительный (эскизный) расчет усилителя;
- определить оптимальные режимы работы активных элементов и выполнить расчет всех каскадов усилителя по постоянному и переменному току;
- разработать или подобрать схему аналогичного усилителя в интегральном исполнении.

Повести расчет активного фильтра.

Исходные данные для ФНЧ и ФВЧ:

- тип амплитудно-частотной характеристики – Чебышевская;
- коэффициент затухания фильтра  $\chi = 1,059$  дБ;
- порядок фильтра – 2;
- неравномерность амплитудно-частотной характеристики 2,0 дБ;

- частота среза для ФНЧ (ФВЧ) – 0,2 МГц;
- коэффициент усиления  $K = 15$ ;

Исходные данные для ППФ:

- нижняя частота среза  $f_n = 0,01$  МГц;
- верхняя частота среза  $f_v = 0,02$  МГц;
- коэффициент усиления  $K = 10$ .

При проектировании активных  $RC$ -фильтров необходимо:

- синтезировать электрические принципиальные схемы активных фильтров нижних и верхних частот, а также полосно-пропускающих фильтров;
- рассчитать параметры пассивных компонентов активных фильтров.

В графической части выполнить чертежи схемы электрической принципиальной усилительного устройства на базе дискретных элементов и схемы электрической принципиальной усилительного устройства на базе интегральных микросхем, схемы электрические принципиальные активных фильтров, с перечнями элементов.

## Содержание

Введение .....	5
1 Схема усилителя постоянного тока и расчет номиналов элементов схемы .....	6
2 Усилитель постоянного тока в интегральном исполнении .....	13
3 Активные фильтры .....	17
3.1 Фильтры нижних частот .....	18
3.2 Фильтр верхних частот .....	24
3.3 Полосовой фильтр .....	27
Заключение .....	31
Список литературы .....	32
Приложения .....	33

## Содержание

Введение .....	5
1 Схема усилителя постоянного тока и расчет номиналов элементов схемы .....	6
2 Усилитель постоянного тока в интегральном исполнении .....	13
3 Активные фильтры .....	17
3.1 Фильтры нижних частот .....	18
3.2 Фильтр верхних частот .....	24
3.3 Полосовой фильтр .....	27
Заключение .....	31
Список литературы .....	32
Приложения .....	33

Имя	Лист	№ документа	Подпись	Дата
Разраб.	Маминов А. Н.			
Пром.	Басюкова М. И.			
Н. контр.				
Учен.				

КНФУ.651134.001 ПЗ

Усилитель постоянного  
тока, активные фильтры  
Пояснительная записка

Лит. Лист Листов

4 43

МарГТУ ЗРРТ-31у

## **Введение**

Усилительные устройства находят применение в самых различных областях науки, техники и производства, являясь либо самостоятельными устройствами, либо частью сложных приборов и систем. Техника усиления электрических сигналов непрерывно развивается. Это связано в первую очередь с развитием и совершенствованием радиоэлектроники и технологии разработкой новых усилительных приборов. Появление новых полупроводниковых приборов и технологических процессов позволило объединить множество транзисторов, диодов, резисторов в одно устройство – интегральную микросхему.

В курсовой работе спроектирован и рассчитан усилитель постоянного тока, приведены схемы и рассчитаны элементы для различных типов активных фильтров.

В первой главе приведена электрическая принципиальная схема усилительного устройства и рассчитаны номиналы всех элементов, входящих в схему.

В второй главе синтезирована схема усилителя постоянного тока в интегральном исполнении.

В третьей главе приведены схемы и сделан расчет всех элементов активных фильтров: низкой частоты (ФНЧ), высокой частоты (ФВЧ), полоснопропускающего фильтра (ППФ).

В приложении сделаны чертежи принципиальных электрических схем для усилителя постоянного тока на транзисторе, усилителя постоянного тока на интегральной микросхеме, активных ФНЧ, ФВЧ и ППФ с перечнями элементов.

# 1 Схема усилителя постоянного тока и расчет номиналов элементов схемы

Усилители постоянного тока (УПТ) служат для усиления медленно меняющихся сигналов или сигналов, значение которых после изменения остается постоянным сколь угодно долго. Нижняя рабочая частота УПТ  $f_L = 0$ , а высшая —  $f_H$  определяется назначением усилителя и условиями его работы.

В УПТ для связи между каскадами усилителя приходится включать элементы, способные проводить постоянный ток. Такая связь вносит в УПТ ряд специфических особенностей: затрудняет установку нужного режима транзисторов и требует компенсации постоянного напряжения на нагрузке в режиме покоя.

Особенно сложной задачей в УПТ является обеспечение высокой стабильности работы усилителя при изменениях напряжений источников питания, режимов работы транзисторов, их параметров и сопротивлений резисторов. Существенное влияние на дрейф нуля оказывает температурная нестабильность обратного тока коллектора. Любые, даже очень медленные изменения перечисленных величин вызывают изменения токов и напряжений, которые передаются на выход усилителя и приводят к изменениям выходного сигнала (дрейфу выходного сигнала или дрейфу нуля). В многокаскадных УПТ наибольшую опасность представляет нестабильность первого каскада, так как его нестабильность усиливается последующими каскадами. Для уменьшения дрейфа нуля в УПТ применяются различные балансные схемы.

Схема двухкаскадного УПТ с непосредственной связью между каскадами изображена на рис. 1.1. В этой схеме выход предыдущего каскада гальванически соединен с входом последующего. Напряжение смещения на базе второго транзистора равно  $U_{B32} = U_{K1} - U_{32}$ . Компенсация постоянного напряжения на нагрузке в режиме покоя достигается включением делителя напряжения  $R_1, R_2$ . Сопротивления этих резисторов выбирают из условий баланса мостовой схемы, в которую включена нагрузка  $R_H$ :

$$R_{K2}R_2 = R_1(R_{32} + R_0). \quad (1.1)$$

где  $R_0 = \frac{|U_{K32}|}{I_{K2}}$  – сопротивление транзистора  $T_2$  в режиме покоя, и условия для делителя напряжения

$$R_1R_2/(R_1 + R_2) \leq (0.1 + 0.2)R_H. \quad (1.2)$$

Источником входного сигнала  $E_C$  с внутренним сопротивлением  $R_C$  может служить фотосопротивление, термопара или другой датчик.

По уравнению для токов и напряжений первого каскада усилителя в режиме покоя  $I_1 = I_{K1} + I_{B2}$ ;  $|U_{K31}| = E_K - I_1R_{K1} - I_{E1}R_{E1}$  получим сопротивление резистора

$$R_{K1} = \frac{E_K - I_{E1}R_{E1} - |U_{K31}|}{I_1} = \frac{E_K - |U_{E1}| - |U_{K1}|}{I_1}. \quad (1.3)$$

Напряжение  $|U_{31}| = I_{31}R_{31}$  выбирают в пределах  $(0.05 \div 0.2)E_K$ , при этом для эффективной стабилизации режима транзистора необходимо, чтобы  $R_3 \gg R_{BX,5}$ .

Аналогично для второго каскада получим:

$$R_{K2} = \frac{E_K - I_{32}R_{32} - |U_{K32}|}{I_{K2}}. \quad (1.4)$$

Входное сопротивление первого каскада

$$R_{BX1} = \frac{R_E \cdot R_{BX,T}}{R_B + R_{BX,T}}$$

где входное сопротивление транзистора  $T_1$  с учетом ООС

$$R_{BX,T} = R_{BX,E} + (1 + h_{21E})R_{31} \approx h_{21E}R_{31}.$$

Входное сопротивление второго каскада

$$R_{BX2} = R_{BX,32} + (1 + h_{2132})R_{32} \approx h_{2132}R_{32}.$$

Сопротивление нагрузки для первого каскада

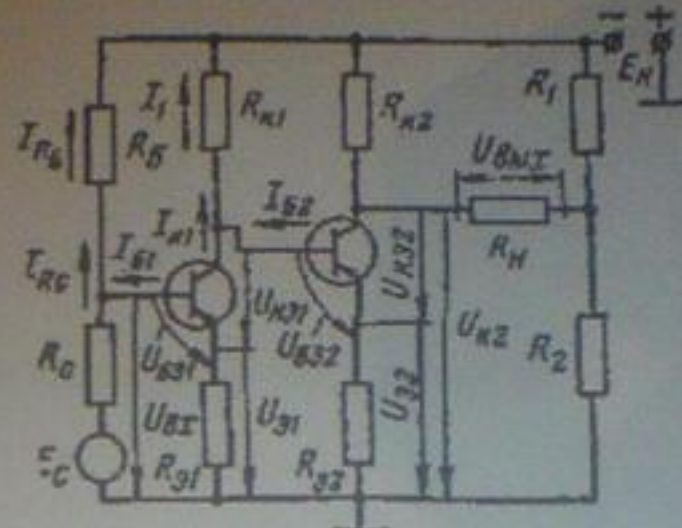


Рисунок 1.1 - Схема двухкаскадного УПТ с непосредственной связью между каскадами

$$R_{H1} = \frac{R_{K1} R_{B1X2}}{R_{K1} + R_{B1X2}}$$

Для второго  $R_{K2} = \frac{R_{K2} R_{ЭКВ}}{R_{K2} + R_{ЭКВ}}$ , где  $R_{ЭКВ} = R_H + \frac{R_1 R_2}{R_1 + R_2}$ .

Коэффициент усиления напряжения соответствующих каскадов

$$K \approx h_{213} \frac{R_H}{R_{B1X2}}. \quad (1.5)$$

При  $h_{213} \gg 1$ , что практически всегда соблюдается,

$$K_1 \approx \frac{R_{H1}}{R_{31}}; K_2 \approx \frac{R_{H2}}{R_{32}} \frac{R_H}{R_H + R_1 R_2 / (R_1 + R_2)}.$$

Рассчитаем двухкаскадный УПТ с непосредственной межкаскадной связью, если источником входного сигнала служит датчик, включенный в мостовую схему; напряжение источника питания  $E_K = 12$  В; максимальные изменения входного сигнала  $\Delta U_{вх} = \pm 12$  мВ; внутреннее сопротивление источника входного сигнала  $R_C = 1$  кОм; сопротивление нагрузки  $R_H = 5,1$  кОм; требуемое максимальное изменение выходного напряжения  $\Delta U_{вых} = 6$  В; температура окружающей среды  $t^{\circ}_{окр} = 25$  °С.

Расчет усилителя проведем в следующем порядке:

1). По заданному напряжению  $E_K$  выбираем транзисторы с максимально допустимым напряжением  $|U_{КЭмакс}| \geq E_K$  и возможно малым обратным коллекторным током  $I_{КБ0}$ . Берем для обоих каскадов транзистор КТ316Б со следующими параметрами  $|U_{КЭмакс}| = 30$  В;  $I_{Кмакс} = 50$  мА;  $I_{КБ0} = 2 \div 5$  мкА;  $t^{\circ}_{Кмакс} = 85$  °С;  $P_{Кмакс20^{\circ}} = 150$  мВт;  $h_{113} = 500$  Ом;  $h_{213} = 40 \div 110$  (для расчета принимаем  $h_{213} = 75$ ).

2). Определяем режим покоя для транзистора второго каскада. Выбираем  $|U_{К2}| = 6$  В. Так как до расчета сопротивлений резисторов  $R_1$ ,  $R_2$  и  $R_{H2}$  оценить значение  $R'_{B2}$  и выбрать ток  $I_{K2}$  затруднительно, то находим его из условия  $I_{K2} \leq 0,5I_{Кмакс}$ . Принимаем  $I_{K2} = 10$  мА. Выбранной точке покоя  $P$  (рис. 1.2) соответствует ток  $I_{B2} = 150$  мкА. По входным характеристикам тран-

транзистора находим напряжение  $U_{B2} = 0,135$  В, соответствующее току  $I_{B2}$  в точке покоя.

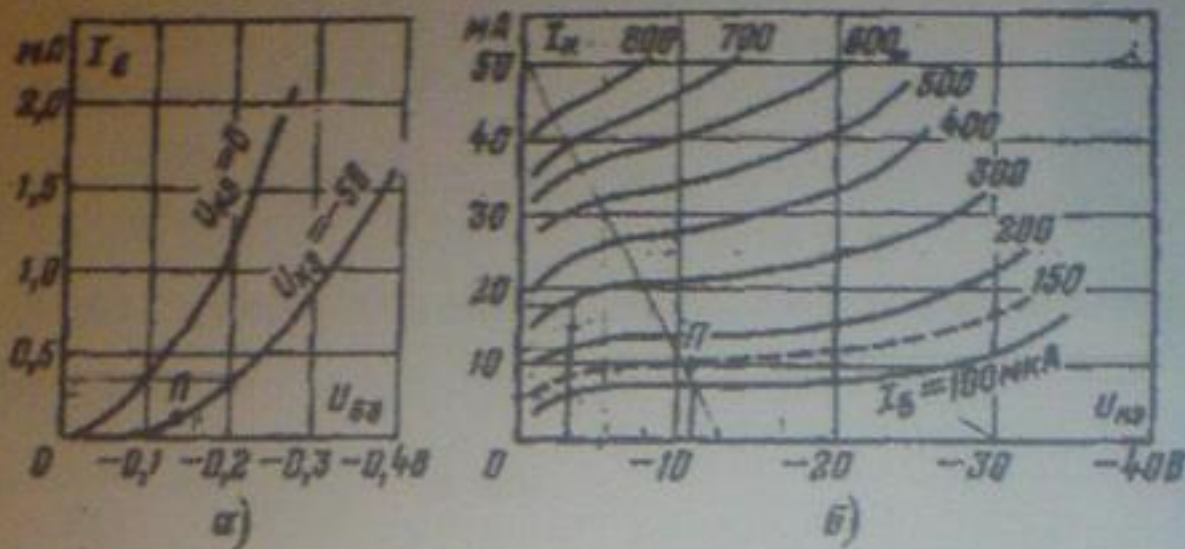


Рисунок 1.2 - Входная (а) и выходная (б) статические характеристики транзистора типа КТ316Б

3). Проверяем режим покоя на соответствие допустимой рассеиваемой мощности коллектора  $P_K = U_{C2}I_{K2} \leq P_{K\max}$ , где максимально допустимая мощность при наибольшей температуре окружающей среды  $t^{\circ}_{окр} = 25^{\circ}\text{C}$ :

$$P_{K\max} = P_{K\max 20^{\circ}} \frac{t^{\circ}_{K\max} - t^{\circ}_{окр}}{t^{\circ}_{K\max} - 20^{\circ}} = 150 \frac{85 - 25}{85 - 20} = 138,5 \text{ мВт.}$$

В нашем случае  $P_K = 10 \cdot 10 \cdot 10^{-3} = 100 \text{ мВт} < P_{K\max} = 138,5 \text{ мВт.}$

4). Приняв напряжение  $|U_{32}| = I_{32}R_{32} = (I_{K2} + I_{B2})R_{32} = 0,1E_K = 3 \text{ В}$ , определяем сопротивление резисторов:

$$R_{32} = \frac{|U_{32}|}{I_{32}} = \frac{|U_{32}|}{I_{K2} + I_{B2}} = \frac{3}{(10 + 0,15) \cdot 10^{-3}} = 296 \text{ Ом (300 Ом).}$$

При этом  $|U_{32}| = I_{32}R_{H2} = 10,15 \cdot 10^{-3} \cdot 300 = 3,45 \text{ В}$  и

$$R_{K2} = \frac{E_K - |U_{32}| - |U_{K2}|}{I_{K2}} = \frac{12 - 3,45 - 6}{10 \cdot 10^{-3}} \approx 1,7 \text{ кОм (1,6 кОм).}$$

В нашем примере  $R_{32} = 300 \text{ Ом} \gg R_{B2, B2} = h_{113}/h_{213} = 500/75 \approx 6,5 \text{ Ом.}$

5). Согласно условиям (1.1) и (1.2) определяем сопротивления делителя. Задаваясь сопротивлением  $R_1 + R_2 = 0,1 \cdot R_{\Pi} = 510 \text{ Ом}$ , находим  $R_1 = 1,05 \text{ кОм}$

Имя	Лист	№ документа	Подпись	Дата

(1,1 кОм);  $R_2 = 0,99$  кОм (1,0 кОм).

6). Сопротивление нагрузки для второго каскада

$$R_{H2} = \frac{R_{K2} R_{M2}}{R_{K2} + R_{M2}} = \frac{1,6 \cdot 5,62}{1,6 + 5,62} = 1,25 \text{ кОм.}$$

$$\text{где } R_{M2} = R_H + \frac{R_1 R_2}{R_1 + R_2} = 5,1 + \frac{1,1 \cdot 1}{1,1 + 1} = 5,62 \text{ кОм.}$$

7). Проверяем правильность выбора тока  $I_{K2}$ , для чего рассчитываем требуемую амплитуду тока

$$I_{K2m} = \frac{\Delta U_{\text{вых}}}{R_{H2}} = \frac{6}{1,25 \cdot 10^3} = 4,8 \text{ мА.}$$

Таким образом, выбранное нами значение тока  $I_{K2} = 10$  мА удовлетворяет условию.

8). Коэффициент усиления напряжения второго каскада

$$K_2 \approx \frac{R_{H2}}{R_{32} R_H + R_1 R_2 / (R_1 + R_2)} = \frac{12,5}{0,3} \frac{5,1}{5,62} = 37,8.$$

9). Необходимое входное напряжение второго каскада

$$\Delta U_{\text{вх2}} = \Delta U_{\text{вых1}} = \Delta U_{\text{вых}} / K_2 = 6 / 37,8 = 0,159 \text{ В.}$$

10). Напряжение  $U_{K1}$  в режиме покоя

$$U_{K1} = U_{32} + U_{B32} = -3,45 + (-0,135) = -3,6 \text{ В.}$$

11). Выбираем точку покоя транзистора  $T_1$ . Задаваясь значением  $U_{31} = 0,05 E_K = 0,05 \cdot 12 = 0,6$  В, находим  $U_{K1} = U_{K1} - U_{31} = -3,6 - (-0,6) = -3$  В.

Необходимое изменение коллекторного тока первого транзистора  $\Delta I_{K1} = \Delta U_{\text{вхх1}} / R_{H1} \approx \Delta U_{\text{вых1}} / R_{K1}$ . В режиме покоя нужно обеспечить ток

$$I_{K1} \geq \Delta I_{K1} + (1 + h_{213}) I_{KBO40^\circ} = \Delta U_{\text{вых1}} / R_{K1} + (1 + h_{213}) I_{KBO40^\circ},$$

где  $I_{KBO40^\circ} = I_{KBO25^\circ} 2^{(40-25)/10} = 5 \cdot 2^{1,5} = 14,14$  мкА – обратный коллекторный ток при максимальной температуре окружающей среды  $T_{OKP} = 25^\circ\text{C}$ .

Подставляя в выражение для  $I_{K1}$  сопротивления резистора  $R_{K1}$  (1.3), находим:

$$I_{K1} = \frac{\Delta U_{K1} \cdot I_{E2} + (E_k - |U_{\pi}| - |U_{K3}|)(1 + h_{212})I_{K1,000}}{E_k - |U_{\pi}| - |U_{K3}| - \Delta U_{K1,000}} =$$
$$= \frac{0,159 \cdot 0,15 + (12 - 1,5 - 2,1)(1 + 75) \cdot 0,02}{12 - 1,5 - 2,1 - 2,12} = 2 \text{ мА.}$$

Принимаем  $I_{K1} = 3 \text{ мА}$ . Выбранной точке покоя  $U_{K3} = -2,1 \text{ В}$  и  $I_{K1} = 3 \text{ мА}$  соответствует ток  $I_b = 50 \text{ мкА}$  и напряжение  $U_{B31} = -0,1 \text{ В}$ , которое определяем по входным характеристикам транзистора (рис. 100).

### 12). Сопротивления резисторов:

$$R_{K1} = \frac{E_k - |U_{K1}|}{I_{K1} + I_{E2}} = \frac{12 - 3,14}{(3 + 0,15) \cdot 10^{-3}} \approx 8,2 \text{ кОм};$$

$$R_{\pi} = \frac{|U_{\pi}|}{I_{\pi}} = \frac{|U_{\pi}|}{I_{K1} + I_{E1}} = \frac{1,5}{(3 + 0,05) \cdot 10^{-3}} = 470 \text{ Ом};$$

$$R_b = \frac{E_k - |U_{B31}| - |U_{\pi}|}{I_{R6}} = \frac{12 - 0,1 - 1,5}{1,6} = 17,8 \text{ кОм (16 кОм)};$$

где

$$I_{R6} = I_{Rc} + I_{E1} = \frac{|E_c - U_{B1} - U_{\pi}|}{R_C} + I_{B1} = \frac{0 + 0,1 + 1,5}{10^{-3}} + 0,05 = 1,6 \text{ мА.}$$

В выражении для  $I_{R6}$  значения  $E_c$ ,  $U_{B31}$ ,  $U_{\pi}$  подставляются со своим знаком. В нашем случае в режиме покоя  $E_c = 0$ .

### 13). Входное сопротивление усилителя

$$R_{in} = R_{B11} = \frac{R_b \cdot h_{212} \cdot R_{\pi}}{R_b + h_{212} \cdot R_{\pi}} = \frac{16 \cdot 75 \cdot 0,47}{16 + 75 \cdot 0,47} \approx 11 \text{ кОм}$$

и коэффициент усиления первого каскада

$$K_1 \approx \frac{R_{H1}}{R_{\pi}} = \frac{6,5 \cdot 10^{-3}}{470} \approx 14.$$



Общий коэффициент усиления напряжения  $K = K_1 \cdot K_2 = 14 \cdot 37,8 \approx 529$

некоторым запасом обеспечивается требуемое усиление

$$K_{tr} = \frac{\Delta U_{вых}}{\Delta U_{вх}} = \frac{6}{0,012} \approx 500.$$

В качестве резисторов выбираем С2-31 [3, стр. 85] – резисторы с металлокерамическим проводящим слоем, предназначенные для работы в высокочастотных электрических цепях постоянного, переменного и импульсного тока в качестве элементов навесного монтажа. Номинальные мощности: 0,125 Вт; 0,25 Вт; 0,5 Вт; 1 Вт; 2 Вт. Диапазон номинальных сопротивлений для мощности 0,125 Вт от 10 Ом до 1 МОм.

Промежуточные значения номинальных сопротивлений соответствуют ряду Е24 с допусками  $\pm 5\%$ .

Принципиальная электрическая схема усилителя постоянного тока приведена в приложении на формате А4 с перечнем элементов.



тальных элементов 29. Корпус типа 301.8-2 (рис. 2.1). Масса не более 1,5 г.

Номинальные выходы: 1, 5, 8 - для подключения цепей частотной коррекции; 2 - инвертирующий вход; 3 - не инвертирующий вход; 4 - напряжение питания (-  $U_{\text{H}}$ ); 6 - выход; 7 - напряжение питания (+  $U_{\text{H}}$ ).

### Основные параметры

Номинальное напряжение питания (двухполюрное) .....  $\pm 15$  В.

Ток потребления при  $U_{\text{H}} = \pm 16,8$  В,  $R_{\text{H}} \geq 10$  кОм, не более:

$T = +25^{\circ}\text{C}$  ..... 6 мА;

$T = -45^{\circ}\text{C}$  ..... 8 мА.

Максимальное выходное напряжение при  $U_{\text{H}} = \pm 15$  В,

$U_{\text{ых}} \geq 0,1$  В, не менее:

$T = +25^{\circ}\text{C}$  .....  $\pm 10$  В;

$T = +85$  и  $-45^{\circ}\text{C}$  .....  $\pm 9$  В.

Напряжение смещения нуля при  $U_{\text{H}} = \pm 16,5$  В,  $R_{\text{H}} \geq 10$  кОм,

$R_{\text{L}} \leq 10$  кОм, не более:

$T = +25^{\circ}\text{C}$  ..... 7,5 мВ;

$T = +85$  и  $-45^{\circ}\text{C}$  ..... 10 мВ.

Входной ток при  $U_{\text{H}} = \pm 16,5$  В,  $R_{\text{H}} \geq 10$  кОм, не более:

$T = +25^{\circ}\text{C}$  ..... 1,5 мкА;

$T = +85^{\circ}\text{C}$  ..... 1,8 мкА;

$T = -45^{\circ}\text{C}$  ..... 2,0 мкА.

Разность входных токов при  $U_{\text{H}} = \pm 16,5$  В,  $R_{\text{H}} \geq 10$  кОм, не более:

$T = +25^{\circ}\text{C}$  ..... 0,5 мкА;

$T = +85^{\circ}\text{C}$  ..... 0,75 мкА;

$T = -45^{\circ}\text{C}$  ..... 1,0 мкА.

Коэффициент усиления напряжения при  $U_{\text{H}} = \pm 15$  В,

$U_{\text{ых}} = \pm 8$  В,  $R_{\text{L}} = 2$  кОм, не менее:

$T = +25^{\circ}\text{C}$  .....  $1,5 \cdot 10^4$ ;

$T = +85$  и  $-45^{\circ}\text{C}$  .....  $9 \cdot 10^3$ .

Коэффициент ослабления синфазных входных напряжений при $U_{\Pi} = \pm 15$ В, $U_{\text{вх},\Phi} = \pm 8$ В, $R_f \leq 10$ кОм, $R_H \geq 10$ кОм, $T = +25$ °С, не менее.....	65 дБ.
Входное сопротивление, не менее.....	200 кОм;
типовое значение .....	260 кОм.
Выходное сопротивление, не более .....	150 Ом.
Скорость нарастания выходного напряжения при $U_{\Pi} = \pm 15$ В, $R_H = 10$ кОм, $T = +25$ °С, не менее.....	0,2 В/мкс.
Время установления выходного напряжения при $U_{\Pi} = \pm 15$ В, $R_H = 10$ кОм, $T = +25$ °С, не менее.....	0,3 В/мкс.

#### Предельные эксплуатационные данные

Напряжение питания .....	$\pm (8,1 \dots 16,5)$ В.
Максимальное входное напряжение при $U_{\Pi} = \pm 16,5$ В:	
синфазное .....	$\pm 8$ В;
дифференциальное .....	$\pm 5$ В.
Минимальное сопротивление нагрузки .....	1 кОм.
Потребляемая мощность .....	150 мВт.
Температура окружающей среды .....	-45...+85 °С.

Типовая схема включения приведена на рис. 2.3. Амплитудно-частотная характеристика К153УД1 с замкнутой цепью обратной связи при  $U_{\Pi} = \pm 15$  В и  $T = +25$  °С для типовой схемы включения при различных номиналах элементов цепей коррекции приведена на рис. 2.4. Здесь кривая 1 соответствует значениям  $R_1 = 0$  Ом,  $C_4 = 10$  пФ,  $C_3 = 3$  пФ; кривая 2 соответствует значениям  $R_1 = 1,5$  кОм,  $C_4 = 110$  пФ,  $C_3 = 3$  пФ; кривая 3 соответствует значениям  $R_1 = 1,5$  кОм,  $C_4 = 510$  пФ,  $C_3 = 20$  пФ; кривая 4 соответствует значениям  $R_1 = 1,5$  кОм,  $C_4 = 5100$  пФ,  $C_3 = 200$  пФ.

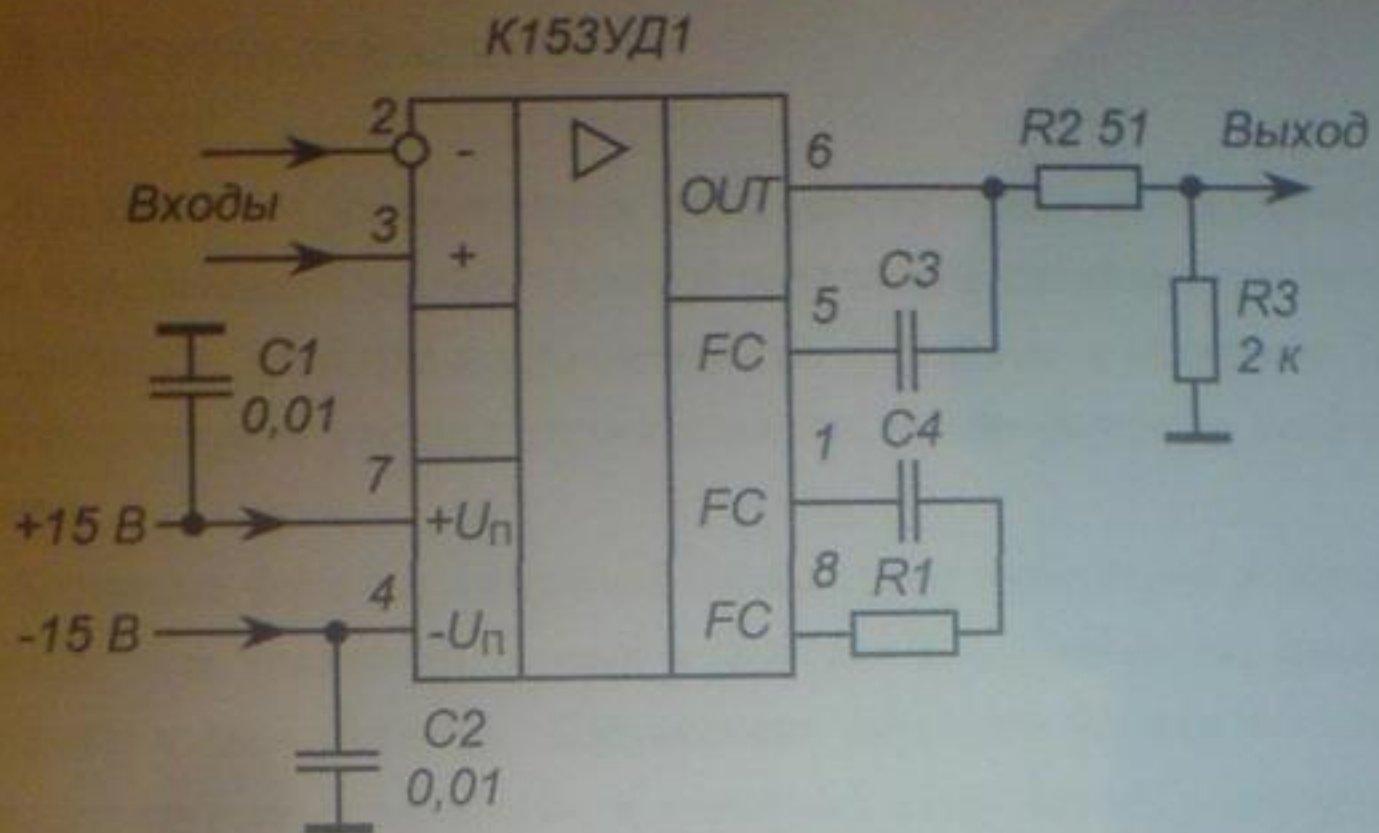


Рисунок 2.3 – Типовая схема включения К153УД1

Необходимо обеспечить коэффициент усиления по напряжению не менее 500. Данному условию будет соответствовать кривая 1 на рис. 2.4, для которой  $R1 = 0 \Omega$ ,  $C4 = 10 \text{ пФ}$ ,  $C3 = 3 \text{ пФ}$ .

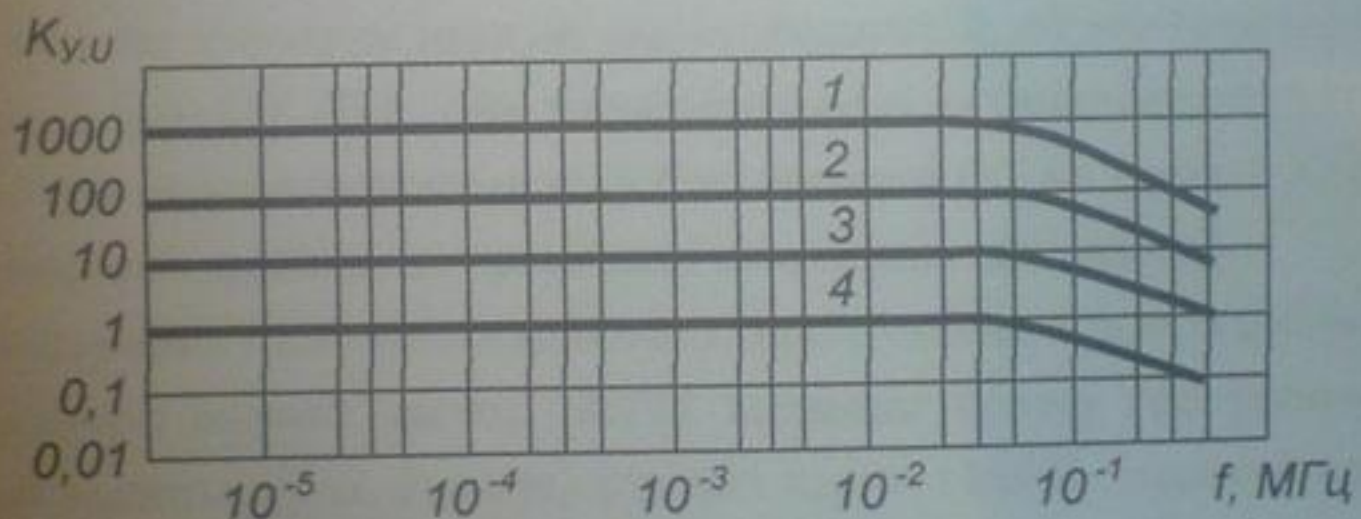


Рисунок 2.4 – АЧХ К153УД1 с замкнутой ОС

Принципиальная электрическая схема усилителя постоянного тока на микросхеме К153УД1 приведена в приложении на формате А4 с перечнем элементов.

### 3 Активные фильтры

Фильтр – это электрическая цепь, рассчитанная на пропускание сигналов в определенной полосе частот и подавления сигналов вне этой полосы. Электрические фильтры подразделяют на пассивные и активные. Пассивные фильтры содержат катушки индуктивности, конденсаторы и, если нужно, резисторы.

Активные фильтры включают в себя кроме резисторов и конденсаторов операционные усилители и реже – катушки индуктивности, поскольку они громоздки и дорогостоящи. Достоинство активных фильтров – их компактность, лучшие характеристики, в частности способность усиливать сигналы, дешевизна.

В области верхних частот рабочего диапазона активные фильтры уступают пассивным: практический предел рабочей полосы доходит до 1 МГц, но по мере совершенствования ОУ этот предел будет расширяться. В области нижних частот активные фильтры, не требующие катушек индуктивности, значительно превосходят фильтры пассивные.

Активным фильтрам присущ ряд особенностей, обусловленных использованием в них ОУ. Так, они характеризуются ограниченным диапазоном входных и выходных напряжений (у большинства ОУ не выше  $\pm 10$  В), а выходной ток, как правило, не превышает нескольких миллиампер.

По взаимному расположению полос пропускания и задерживания различают фильтры низких частот (ФНЧ), имеющие полосу пропускания ниже заданной частоты среза, фильтры верхних частот (ФВЧ) с полосой пропускания выше заданной частоты среза, полосовые фильтры (ПФ) с полосой пропускания, расположенной между двумя частотами среза, и режекторные фильтры (РФ) с полосой задерживания, ограниченной двумя частотами среза и примыкающими к ней полосами пропускания.

Основная характеристика фильтра – его порядок, определяемый числом содержащихся в фильтре реактивных элементов. Например, если коэффициент передачи напряжения фильтра выражается формулой

$$K_{\Phi}(\omega) = \frac{U_2}{U_1} = \frac{K_{\Phi}}{\sqrt{1 + \left(\frac{\omega}{\omega_0}\right)^2}}, \quad (3.1)$$

то мы имеем дело с ФНЧ первого порядка  $n = 1$ , а при

$$K_{\Phi}(\omega) = \frac{K_{\Phi} \omega_0^2}{\sqrt{\omega_0^4 + \omega_0^2 \omega^2 (\delta^2 - 2) + \omega^4}}, \quad (3.2)$$

порядок оказывается вторым ( $n = 2$ ). От порядка фильтра зависит крутизна АЧХ за пределами полосы пропускания, выражаемая числом децибел на октаву (декаду): при  $n = 1$  это 6 дБ/окт (20 дБ/дек), если  $n = 2$ , то 12 дБ/окт (40 дБ/дек) и т. д..

Активные фильтры широко используются для усиления или ослабления определенных частот в звуковой аппаратуре, в генераторах, электронно-музыкальных инструментах, линиях связи, а также в научно-исследовательской работе для изучения частотного состава разнообразных сигналов, таких как биотоки человеческого организма, механические вибрации и т. д.

### 3.1 Фильтры низких частот

Схема ФНЧ первого порядка не отличается от схемы интегрирующего усилителя. У этого фильтра  $\omega_0 = \frac{1}{2\pi R} \approx \frac{1}{2\pi C \cdot R}$ .

Схема ФНЧ второго порядка показана на рис. 3.1. Для повышения крутизны АЧХ вблизи частоты среза, отсчитываемого на уровне  $1/\sqrt{2}$  (-3 дБ); используется слабая положительная ОС, стабилизированная с помощью отрицательной ОС, цепь которой представлена делителем напряжения  $R_3R_4$  с коэффициентом передачи напряжения

$$B = \frac{R_3}{R_3 + R_4}. \quad (3.3)$$

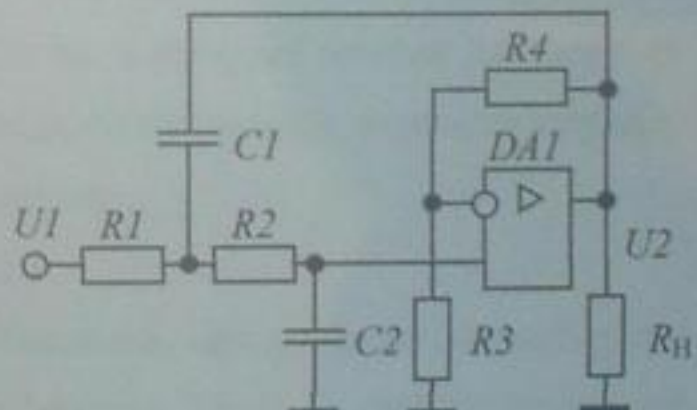


Рисунок 3.1 - Схема ФНЧ второго порядка

С целью получения максимально плоской АЧХ (т. е. без максимума и с наибольшей крутизной АЧХ вблизи частоты среза) параметр

$$K_F \approx \frac{1}{B} = 1 + \frac{R_4}{R_3}. \quad (3.4)$$

выбирают равным 1,2. Сама АЧХ описывается выражением (3.2), в котором  $K_\Phi = K_F$ ,

$$\omega_0 = \omega_c = 2\pi f_c = \frac{1}{\sqrt{C_1 R_1 C_2 R_2}} \quad (3.5)$$

и

$$\delta = \frac{1}{Q} = \left[ C_1 R_1 (1 - K_F) + C_2 R_1 + \frac{C_2 R_2}{\sqrt{C_1 R_1 C_2 R_2}} \right]. \quad (3.6)$$

Максимально плоской АЧХ получается при  $\delta = \sqrt{2}$  ( $Q = 0,707$ ).

При необходимости увеличения крутизны асимптоты за пределами полосы пропускания используются фильтры более высокого порядка.

Выберем операционный усилитель, который можно использовать в заданном частотном диапазоне [5 ,стр. 20].

#### Микросхема К154УД2.

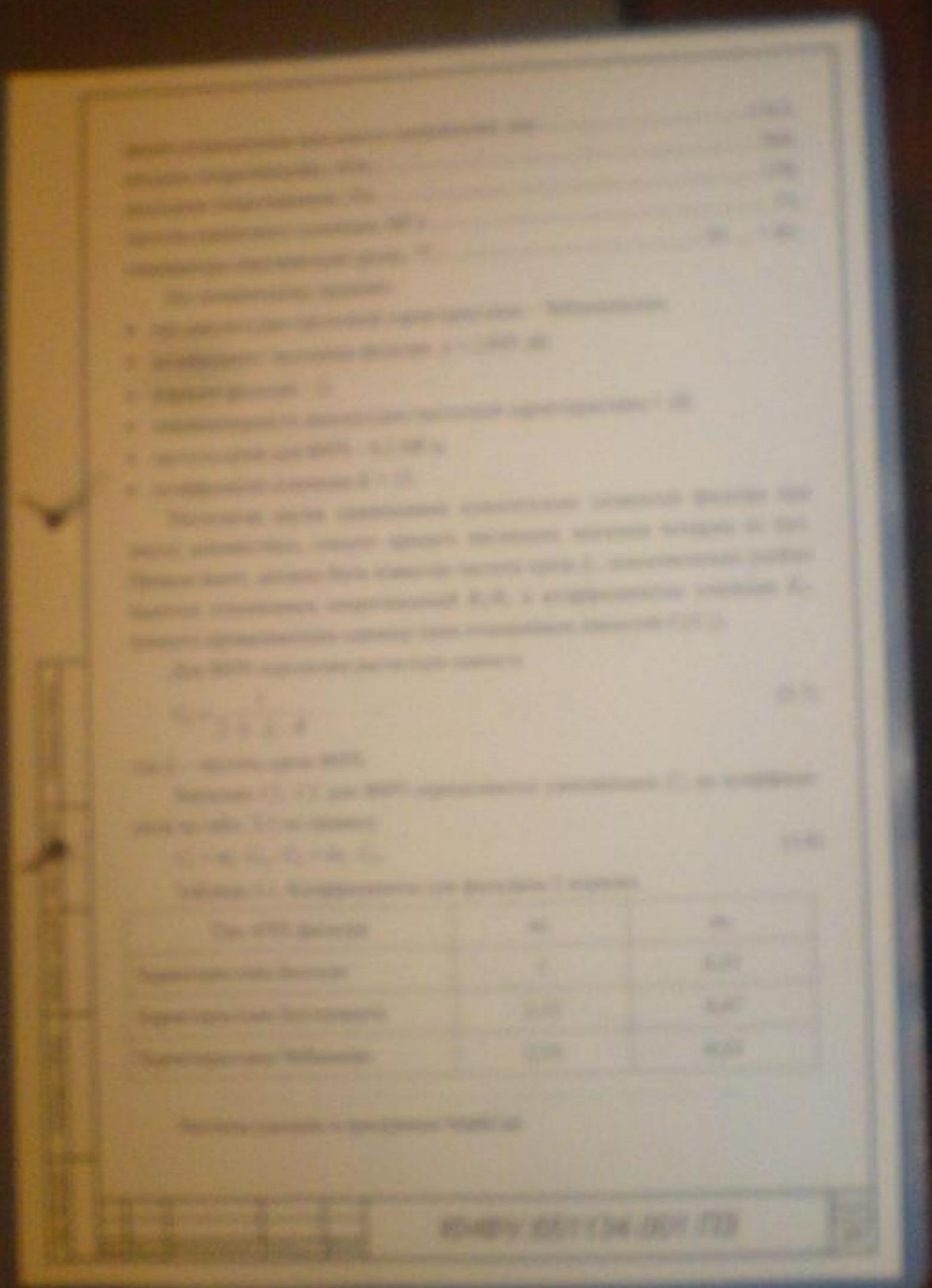
Микросхема представляет собой операционный усилитель средней точности с выходным напряжением  $\pm 10$  В. Предназначены для работы на частотах до 15 МГц. Для обеспечения достаточно высокого входного сопротивления первый дифференциальный каскад работает в режиме малых коллекторных токов, в результате чего паразитные и корректирующие емкости ограничивают выходное напряжение на высокой частоте.

Корпус типа 301.8-2. Масса не более 1,5 г..

Назначение выводов: 1, 8 – резистор баланса, средняя точка которого подсоединенена к положительному питанию (вывод 7); 2 – инвертирующий вход; 3 – не инвертирующий вход; 4 – питание (-  $U_{\text{П}}$ ); 5 – общий вывод; 6 – выход; 7 – питание (+  $U_{\text{П}}$ ).

Электрические параметры:

номинальное напряжение питания, В.....	$\pm 15 \pm 10 \%$ ;
ток потребления, мА .....	$\leq 6$ ;
коэффициент усиления напряжения при $U_{\text{пит}} = \pm 15$ В,	
$U_{\text{ВХ}} = 0,1$ В, $R_H = 5,05$ кОм .....	$\geq 2 \cdot 10^4$ ;



время установления выходного напряжения, мкс	≤ 0,3;
входное сопротивление, кОм	260;
выходное сопротивление, Ом	150;
частота единичного усиления, МГц	15;
температура окружающей среды, °С	- 45 ... + 85.

По техническому заданию:

- тип амплитудно-частотной характеристики – Чебышевская;
- коэффициент затухания фильтра  $\chi = 1,059$  дБ;
- порядок фильтра – 2;
- неравномерность амплитудно-частотной характеристики 1 дБ;
- частота среза для ФНЧ – 0,2 МГц;
- коэффициент усиления  $K = 15$ .

Располагая двумя уравнениями относительно элементов фильтра при шести неизвестных, следует придать численные значения четырем из них. Прежде всего, должна быть известна частота среза  $f_C$ , дополнительно удобно задаться отношением сопротивлений  $R_2/R_1$  и коэффициентом усиления  $K_F$ , немного превышающим единицу (или отношением емкостей  $C_2/C_1$ ).

Для ФНЧ определим расчетную емкость

$$C_0 = \frac{1}{2 \cdot \pi \cdot f_C \cdot R}, \quad (3.7)$$

где  $f_C$  – частота среза ФНЧ.

Значение  $C_1$ ,  $C_2$  для ФНЧ определяются умножением  $C_0$  на коэффициенты из табл. 3.1 по правилу

$$C_1 = m_1 \cdot C_0, \quad C_2 = m_2 \cdot C_0. \quad (3.8)$$

Таблица 3.1. Коэффициенты для фильтров 2 порядка

Тип АЧХ фильтра	$m_1$	$m_2$
Характеристика Бесселя	1	0,33
Характеристика Баттерворта	2,12	0,47
Характеристика Чебышева	2,73	0,33

Расчеты сделаем в программе MathCad.

$$\begin{aligned}
 K &= 15 & f_c &= 0.2 \cdot 10^6 \text{ Гц} & R &= 560 \text{ Ом} & \delta_{\text{dB}} &= 1 \text{ dB} & \frac{1}{\delta_{\text{раз}}} &= 10^{20} \\
 C_0 &= \frac{1}{2 \cdot \pi \cdot f_c \cdot R} & C_0 &= 1.42 \cdot 10^{-9} & m_1 &= 2.73 & m_2 &= 0.33 \\
 C_1 &= m_1 \cdot C_0 & C_2 &= m_2 \cdot C_0 \\
 C_1 &= 3.879 \cdot 10^{-9} \Phi & C_2 &= 4.689 \cdot 10^{-10} \Phi \\
 C_1 &= 3.9 \cdot 10^{-9} \Phi & C_2 &= 0.47 \cdot 10^{-9} \Phi & R_1 &= 1 & R_2 &= 1
 \end{aligned}$$

Given

$$\delta_{\text{раз}} = C_1 \cdot R_1 \cdot (1 - K) + C_2 \cdot R_1 - \frac{C_2 \cdot R_2}{C_1 \cdot R_1 \cdot C_2 \cdot R_2}$$

$$2 \cdot \pi \cdot f_c = \frac{1}{\sqrt{C_1 \cdot R_1 \cdot C_2 \cdot R_2}}$$

$$\text{Find}(R_1, R_2) = \begin{bmatrix} 181.854 \\ 1.9 \cdot 10^3 \end{bmatrix}$$

Проверка

$$R_1 = 180 + 2 \text{ Ом} \quad R_2 = 1.8 \cdot 10^3 + 100 \text{ Ом}$$

$$\frac{1}{2 \cdot \pi \cdot \sqrt{C_1 \cdot R_1 \cdot C_2 \cdot R_2}} = 1.999 \cdot 10^5 \quad C_1 \cdot R_1 \cdot (1 - K) + C_2 \cdot R_1 - \frac{C_2 \cdot R_2}{C_1 \cdot R_1 \cdot C_2 \cdot R_2} = 1.122$$

$$R_3 = 10 \cdot 10^3 \text{ Ом} \quad R_4 = (K - 1) \cdot R_3 \quad R_4 = 1.4 \cdot 10^5 \text{ Ом}$$

$$f = 0.1 \cdot 10^3 \dots 2 \cdot 10^7$$

$$\begin{aligned}
 \text{КФНЧ\_дБ}(f) &= 20 \cdot \log \left| \frac{K \cdot 4 \cdot \pi^2 \cdot f_c^2}{16 \cdot \pi^4 \cdot f_c^4 + 4 \cdot \pi^2 \cdot f_c^2 \cdot 4 \cdot \pi^2 \cdot f^2 \cdot (\delta_{\text{раз}}^2 - 2) + 16 \cdot \pi^4 \cdot f^4} \right| \text{ дБ}
 \end{aligned}$$

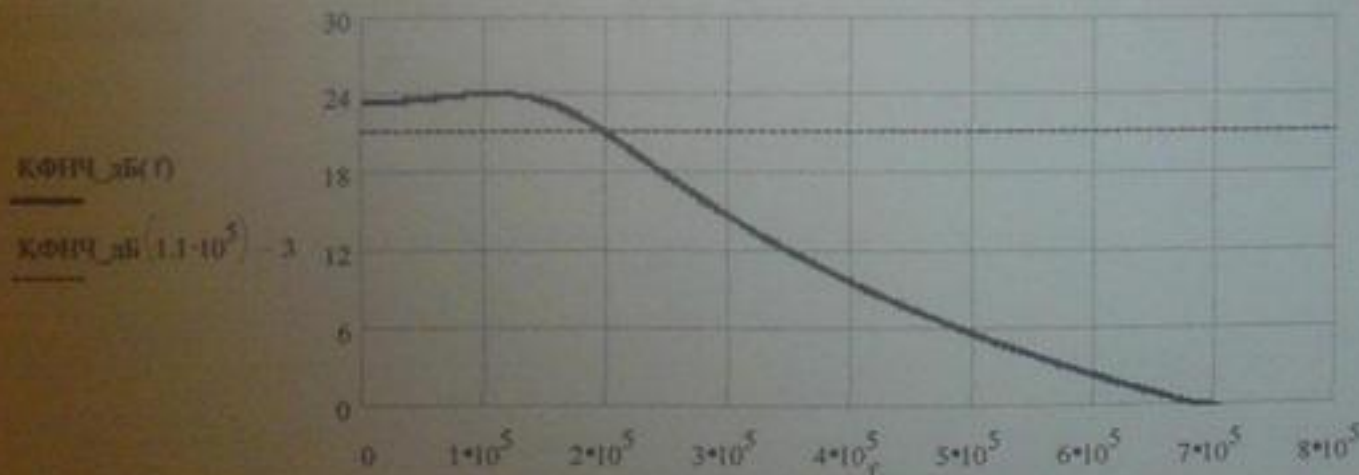


Рисунок 3.2 – АЧХ ФНЧ для коэффициента передачи в дБ



Рисунок 3.3 – АЧХ ФНЧ для коэффициента передачи в режиме

Таким образом, рассчитанные значения элементов:  $R1.1 = 180 \text{ Ом}$ ;  $R1.2 = 22 \text{ Ом}$ ;  $R2.1 = 1,8 \text{ мОм}$ ;  $R2.2 = 100 \text{ Ом}$ ;  $R3 = 10 \text{ мОм}$ ;  $R4 = 140 \text{ мОм}$ ;  $C1 = 3,9 \mu\text{Ф}$ ;  $C2 = 470 \mu\text{Ф}$ .

Рассчитаны частоты, расположенные за пределами используемой полосы пропускания с помощью программы Multisim. При расчетах получены:

- 1). максимальное выходное напряжение при выходном ограничении не более 10 В при напряжении питания ± 15 В;
- 2). при коэффициенте передачи ОУ равное 15, максимальную входную

$$\text{напряжение } U_{in} = \frac{U_{out}}{K_v} = \frac{10}{15} = 0,75 \text{ В.}$$

$$R3 = 10 \cdot 10^3 \text{ Ом} \quad R4\_1 = 100 \cdot 10^3 \text{ Ом} \quad R4\_2 = 47 \cdot 10^3 \text{ Ом} \quad U = 10 \text{ В}$$

$$I = \frac{U}{R3 + R4\_1 + R4\_2} = 6.36 \cdot 10^{-5} \text{ А}$$

$$PR3 = I^2 \cdot R3 = 4.057 \cdot 10^{-5} \text{ Вт}$$

$$PR4\_1 = I^2 \cdot R4\_1 = 4.057 \cdot 10^{-4} \text{ Вт}$$

$$PR4\_2 = I^2 \cdot R4\_2 = 1.907 \cdot 10^{-4} \text{ Вт}$$

$$R1\_1 = 180 \text{ Ом} \quad R1\_2 = 22 \text{ Ом} \quad RbxOY = 260 \cdot 10^3 \text{ Ом} \quad U = 0.75 \text{ В}$$

$$R2\_1 = 1.8 \cdot 10^3 \text{ Ом} \quad R2\_2 = 100 \text{ Ом}$$

$$I = \frac{U}{R1\_1 + R1\_2 + R2\_1 + R2\_2 + RbxOY} = 2.86 \cdot 10^{-6} \text{ А}$$

$$PRI\_1 = I^2 \cdot R1\_1 = 1.474 \cdot 10^{-9} \text{ Вт}$$

$$PRI\_2 = I^2 \cdot R1\_2 = 1.801 \cdot 10^{-10} \text{ Вт}$$

$$PR2\_1 = I^2 \cdot R2\_1 = 1.474 \cdot 10^{-8} \text{ Вт}$$

$$PR2\_2 = I^2 \cdot R2\_2 = 8.188 \cdot 10^{-10} \text{ Вт}$$

В качестве резисторов  $R1.1 = 180 \text{ Ом}$ ,  $R2.1 = 1,8 \text{ кОм}$ ,  $R2.2 = 100 \text{ Ом}$ ,  $R3 = 10 \text{ кОм}$ ,  $R4.1 = 91 \text{ кОм}$  выбираем С2-31  $\pm 5\%$  мощностью 0,125 Вт, а в качестве резисторов  $R1.2 = 22 \text{ Ом}$ ,  $R4.2 = 47 \text{ кОм}$  многооборотный подстроечный резистор СП5-22 мощностью 0,125 Вт (3, стр. 304).

В качестве емкостей  $C1 = 3,9 \text{ нФ}$  и  $C2 = 470 \text{ пФ}$  выбираем конденсаторы К10-17 ПЗ3 на номинальное напряжение 50 В [4, стр. 28]. В качестве емкостей по цепи питания используем конденсаторы К10-17 Н50 номиналом 0,1 мкФ на номинальное напряжение 50 В и параллельно включенные полярные tantalовые оксидно-полупроводниковые конденсаторы К53-1-10 мкФ-20 В [4, стр. 290].

Подстроечные многооборотные резисторы СП5-22  $R1.2 = 27 \text{ Ом}$  и  $R4.2 = 47 \text{ кОм}$  используются для точной настройки на частоту среза и требуемый коэффициент усиления.

Чертеж принципиальной электрической схемы, с перечнем элементов для рассчитанного фильтра приведен в приложении.

### 3.2 Фильтр верхних частот

Схема ФВЧ второго порядка, изображенная на рис. 3.4, отличается от ФНЧ взаимной заменой резисторов и конденсаторов, формирующих АЧХ, с уравнением

$$K_F(\omega) = K_F \frac{\omega^2}{\sqrt{\omega_0^4 + \omega_0^2 \omega^2 (\delta^2 - 2) + \omega^4}}, \quad (3.13)$$

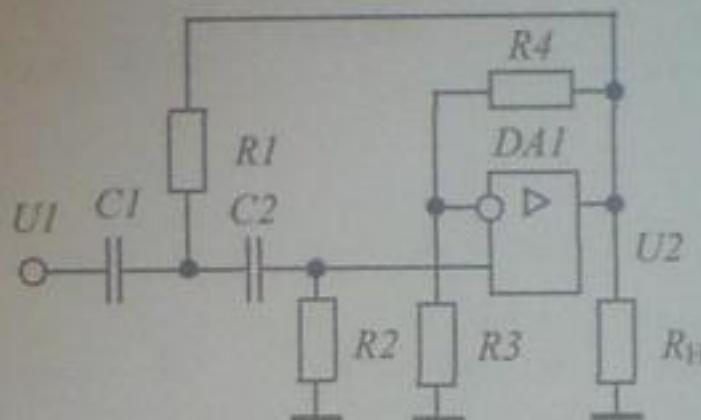


Рисунок 3.4 - Схема ФВЧ второго порядка

Входящие сюда  $K_F$  и  $\omega_0$  находятся из (3.4) и (3.5), а

$$\delta = \frac{1}{Q} = \left( \frac{1}{C_1 R_1 (1 - K_F)} + \frac{1}{C_2 R_1} + \frac{1}{C_2 R_2} \right) \sqrt{C_1 R_1 C_2 R_2}. \quad (3.14)$$

Для ФВЧ определяется расчетное сопротивление

$$R_0 = \frac{1}{2 \cdot \pi \cdot f_C \cdot C}, \quad (3.15)$$

где  $f_C$  – частота среза ФНЧ.

Значение  $C_1$ ,  $C_2$  для ФНЧ определяются умножением  $C_0$  на коэффициенты из табл. 3.1 по правилу

$$R_1 = \frac{R_0}{m_1}, \quad R_2 = \frac{R_0}{m_2}, \quad (3.16)$$

где коэффициенты  $m_1$  и  $m_2$  приведены в табл. 3.1.

Расчеты проведем в программе MathCad. Результаты представлены на следующей странице.

$$\begin{aligned}
 K = 15 & \quad f_c = 0.2 \cdot 10^6 \text{ Гц} & C = 1000 \cdot 10^{-12} \Phi & \delta_{\text{dB}} = 1 \text{ дБ} & \delta_{\text{рез}} = 10^{20} & I \\
 R_0 & \quad \frac{1}{2\pi \cdot f_c \cdot C} & R_0 = 795.775 & m_1 = 2.73 & m_2 = 0.33 & \\
 R_1 & \quad R_0 & R_2 & \frac{R_0}{m_2} & & \\
 m_1 & & & & & \\
 R_1 = 291.493 & \text{ Ом} & R_2 = 2.411 \cdot 10^3 & \text{ Ом} & & \\
 R_1 = 300 & \text{ Ом} & R_2 = 2.4 \cdot 10^3 & \text{ Ом} & C_1 = 10^{-12} & C_2 = 10^{-12} \\
 \text{Given} & & & & & \\
 \frac{2\pi \cdot f_c}{C_1 \cdot R_1 \cdot C_2 \cdot R_2} & = \frac{I}{\delta_{\text{рез}}} \\
 \delta_{\text{рез}} = & \frac{1}{C_1 \cdot R_1 \cdot (1 - K)} + \frac{1}{C_2 \cdot R_1} + \frac{1}{C_2 \cdot R_2} \cdot \frac{1}{C_1 \cdot R_1 \cdot C_2 \cdot R_2}
 \end{aligned}$$

$$\text{Find}(C_1, C_2) = \left[ \begin{array}{c} 4.538 \cdot 10^{-10} \\ 1.938 \cdot 10^{-9} \end{array} \right]$$

Проверка

$$\begin{aligned}
 R_1 = 300 & \text{ Ом} \quad R_2 = 2.4 \cdot 10^3 \text{ Ом} \quad C_1 = 470 \cdot 10^{-12} \Phi \quad C_2 = 2 \cdot 10^{-9} \Phi \\
 \frac{1}{2\pi \cdot \frac{1}{C_1 \cdot R_1 \cdot C_2 \cdot R_2}} & = 1.925 \cdot 10^5 \quad \left[ \frac{1}{C_1 \cdot R_1 \cdot (1 - K)} + \frac{1}{C_2 \cdot R_1} + \frac{1}{C_2 \cdot R_2} \right] \cdot \frac{1}{C_1 \cdot R_1 \cdot C_2 \cdot R_2} = 1.122
 \end{aligned}$$

$$R_3 = 10 \cdot 10^3 \text{ Ом} \quad R_4 = (K - 1) \cdot R_3 \quad R_4 = 1.4 \cdot 10^5 \text{ Ом}$$

$$f = 0, 10^5 \dots 2 \cdot 10^5$$

$$\text{КФВЧ, дБ}(f) = 20 \cdot \log \frac{K \cdot 4 \cdot \pi^2 \cdot f^2}{16 \cdot \pi^4 \cdot f_c^4 + 4 \cdot \pi^2 \cdot f_c^2 \cdot 4 \cdot \pi^2 \cdot f^2 \cdot (\delta_{\text{рез}}^2 - 2) + 16 \cdot \pi^4 \cdot f^4} \text{ дБ}$$

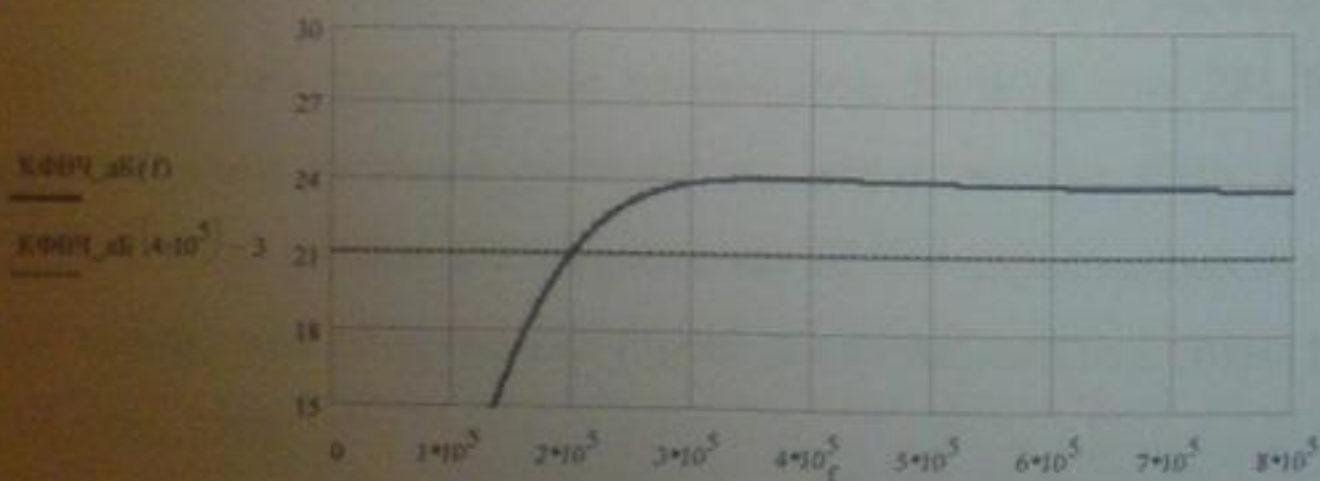


Рисунок 3.5 – АЧХ ФВЧ для коэффициента передачи в дБ

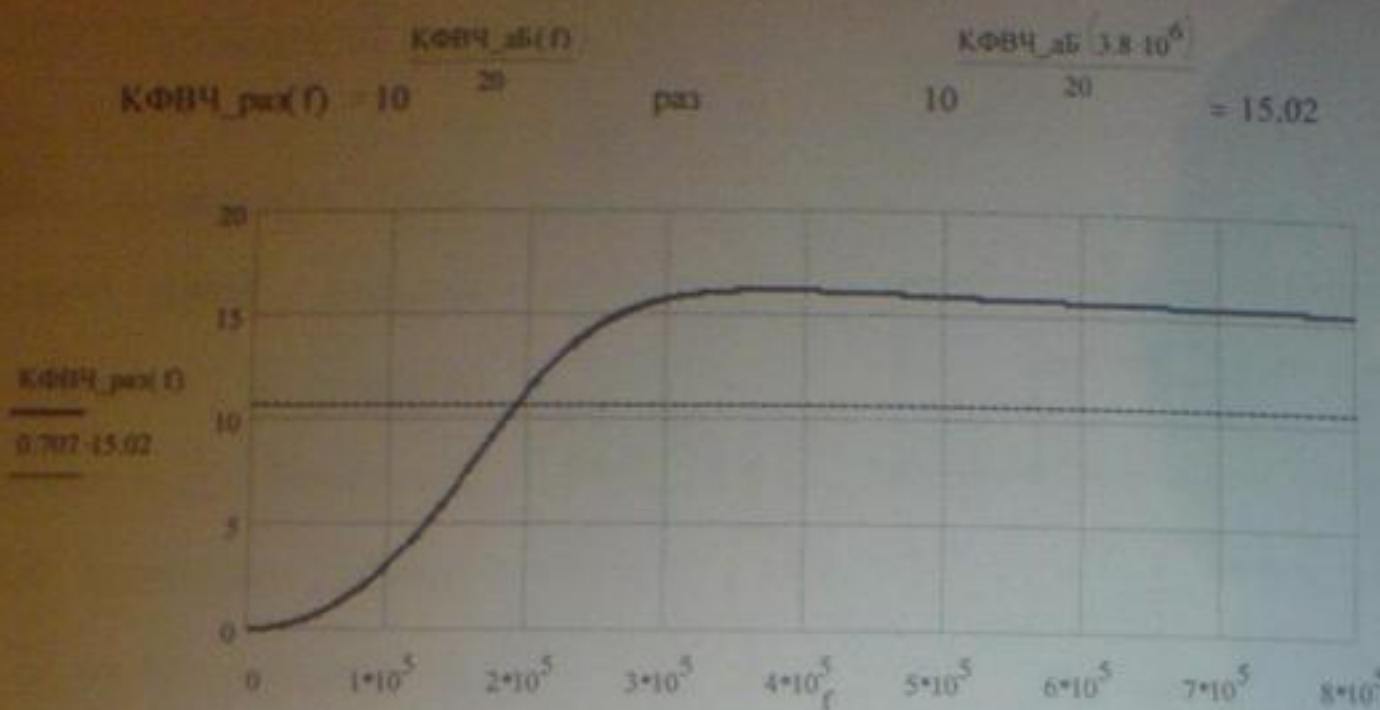


Рисунок 3.6 – АЧХ ФВЧ для коэффициента передачи в разах

По аналогии с предыдущим расчетом для активного ФНЧ логично предположить, что для выбранных номиналов резисторов мощности рассеивания будут незначительными. Поэтому в качестве резисторов  $R1.1 = 300 \text{ Ом}$ ;  $R2 = 2,4 \text{ кОм}$ ;  $R3 = 10 \text{ кОм}$ ;  $R4.1 = 100 \text{ кОм}$  выбираем С2-31 на допустимую мощность рассеивания 0,125 Вт. Для более точной настройки на частоту среза используем последовательно с  $R1.1$  включенный подстроечный многооборотный резистор  $R1.2$  - СП5-22-22 Ом на номинальную мощность рассеивания 0,125 Вт и последовательно с  $R4.1$  - СП5-22-47 кОм на номинальную мощность рассеивания 0,125 Вт.

В качестве емкостей  $C1 = 470 \text{ пФ}$  и  $C2 = 2 \text{ нФ}$  выбираем конденсаторы К10-17 ПЗ3 на номинальное напряжение 50 В [4, стр. 28]. В качестве емкостей по цепи питания используем конденсаторы К10-17 Н50 номиналом 0,1 мкФ на номинальное напряжение 50 В и параллельно включенные полярные tantalевые оксидно-полупроводниковые конденсаторы К53-1-10 мкФ-20 В [4, стр. 290].

Чертеж принципиальной электрической схемы, с перечнем элементов для рассчитанного фильтра приведен в приложении.

### 3.3 Полосовой фильтр

Для выделения сравнительно узкой полосы частот, близкой к единице отношения  $f_0/f_C$ , требуется высокое значение добротности  $Q$ , порядка выше 10.

В таких случаях удобен фильтр (рис. 3.7), характеризуемый следующими параметрами:

$$K_d = \frac{U_2}{U_1} = \frac{k_1 R_4}{R_2}, \quad (3.17)$$

$$k_{12} = \frac{R_1}{R_1 + R_2}, \quad (3.18)$$

$$R_{12} = R_1 [R_2 + R_3] = k_{12} R_1 + R_3, \quad (3.19)$$

$$f_0 = \frac{1}{2\pi\sqrt{C_1 R_1 f_0 \mu_2}}, \quad (3.20)$$

$$Q = \sqrt{\frac{C_1 R_1}{C_2 \mu_2}}, \quad (3.21)$$

Дополнительные высокочастотные резисторы  $R_1$  и  $R_2$  придают устройству большую гибкость в смысле укачивания промежуточной, предельно опасной к азотификации усилению и добротности.

Число неизвестных параметров превышает число уравнений на два, поэтому двум из неизвестных следует придать числовые значения.

Выбором  $R_1 = 1 \text{ кОм}$ ,  $R_2 = 10 \text{ кОм}$ ,  $C_1/C_2 = 0,5$ , с помощью равенства (3.18) находим

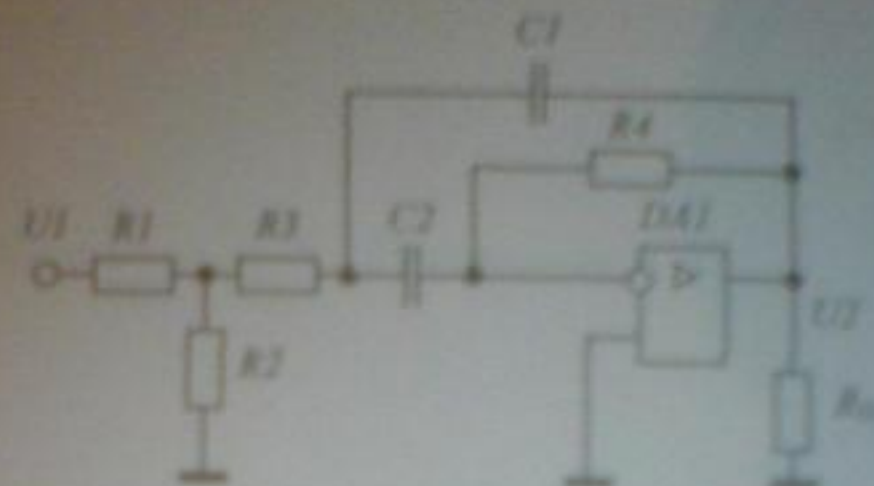


Рисунок 3.7 - Схема регулируемого полосового фильтра

$$R_{12} = \frac{C_1 R_4}{C_2 Q^2}. \quad (3.22)$$

Добротность

$$Q = \frac{f_0}{\Delta F}. \quad (3.23)$$

Через заданное значение  $K_\phi = \frac{U_2}{U_1} = \frac{k_D R_4}{R_{12}} = 15$  определяем

$$k_D = \frac{K_\phi R_{12}}{R_4}. \quad (3.24)$$

Используя соотношение (3.11), определяем, что

$$R_2 = \frac{k_D R_1}{1 - k_D}. \quad (3.25)$$

При этом  $R_3 = R_{12} - k_D R_1$ .

Выражение  $f_0 = \frac{1}{2\pi\sqrt{C_1 R_{12} C_2 R_4}}$  и условие  $C_1 = 0,5 C_2$  позволяют рассчитать емкости конденсаторов  $C_1$  и  $C_2$ .

Для расчетов используем MathCad.

Исходные данные для ППФ:

- нижняя частота среза  $f_H = 0,01$  МГц;
- верхняя частота среза  $f_B = 0,02$  МГц;
- коэффициент усиления  $K = 10$ .

$$K = 10 \quad f_0 = 0.01 \text{ Гц} \quad f_2 = 0.02 \text{ Гц}$$

$$\frac{R_0}{2} \cdot \frac{f_2 - f_1}{f_2 + f_1} = 10 \cdot 1.5 \cdot 10^4 \text{ Гц} \quad Q = \frac{f_0}{f_2 - f_1} \quad Q = 1.5 \quad \delta = \frac{1}{Q} \quad \delta = 0.667$$

$$R_1 = 100 \text{ Ом} \quad R_4 = 10 \cdot 10^3 \text{ Ом}$$

$$R_{12} = \frac{0.4 R_4}{Q} \quad R_{12} = 1.77 \cdot 10^3 \text{ Ом} \quad k_{12} = K \cdot \frac{R_{12}}{R_4} \quad k_{12} = 1.778$$

$$R_2 = \frac{k_{12} \cdot R_1}{1 - k_{12}} \quad R_2 = 220 \text{ Ом} \quad R_3 = R_{12} - k_{12} \cdot R_1 \quad R_3 = 1.6 \cdot 10^3 \text{ Ом}$$

$$C_1 = 10^{-12} \text{ Ф} \quad C_2 = 10^{-12} \text{ Ф}$$

Given:

$$\frac{I}{2\pi \cdot (C_1 \cdot R_{12} \cdot C_2 \cdot R_4)} = 0$$

$$C_1 = \frac{C_2}{25}$$

$$\text{Find}(C_1, C_2) = \begin{bmatrix} 7.41 \cdot 10^{-10} \\ 8.54 \cdot 10^{-9} \end{bmatrix}$$

$$f = 0, 100, 4 \cdot 10^4 \quad \text{КППФ\_дБ}(f) = 20 \cdot \log \left| \frac{K \cdot \delta \cdot 4 \cdot \pi^2 \cdot f \cdot f_0}{16 \cdot \pi^4 \cdot f_0^4 + 4 \cdot \pi^2 \cdot f_0^2 \cdot 4 \cdot \pi^2 \cdot f^2 \cdot (\delta^2 - 2) + 16 \cdot \pi^4 \cdot f^4} \right| \text{ дБ}$$

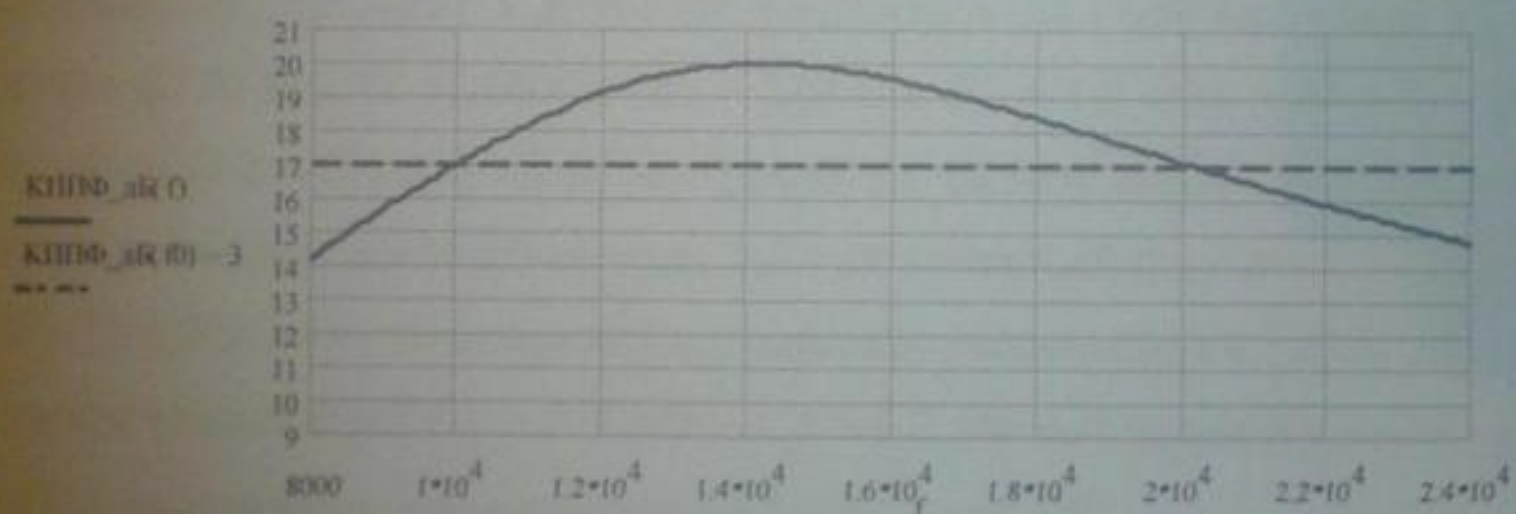


Рисунок 3.8 – АЧХ ППФ для коэффициента передачи в дБ

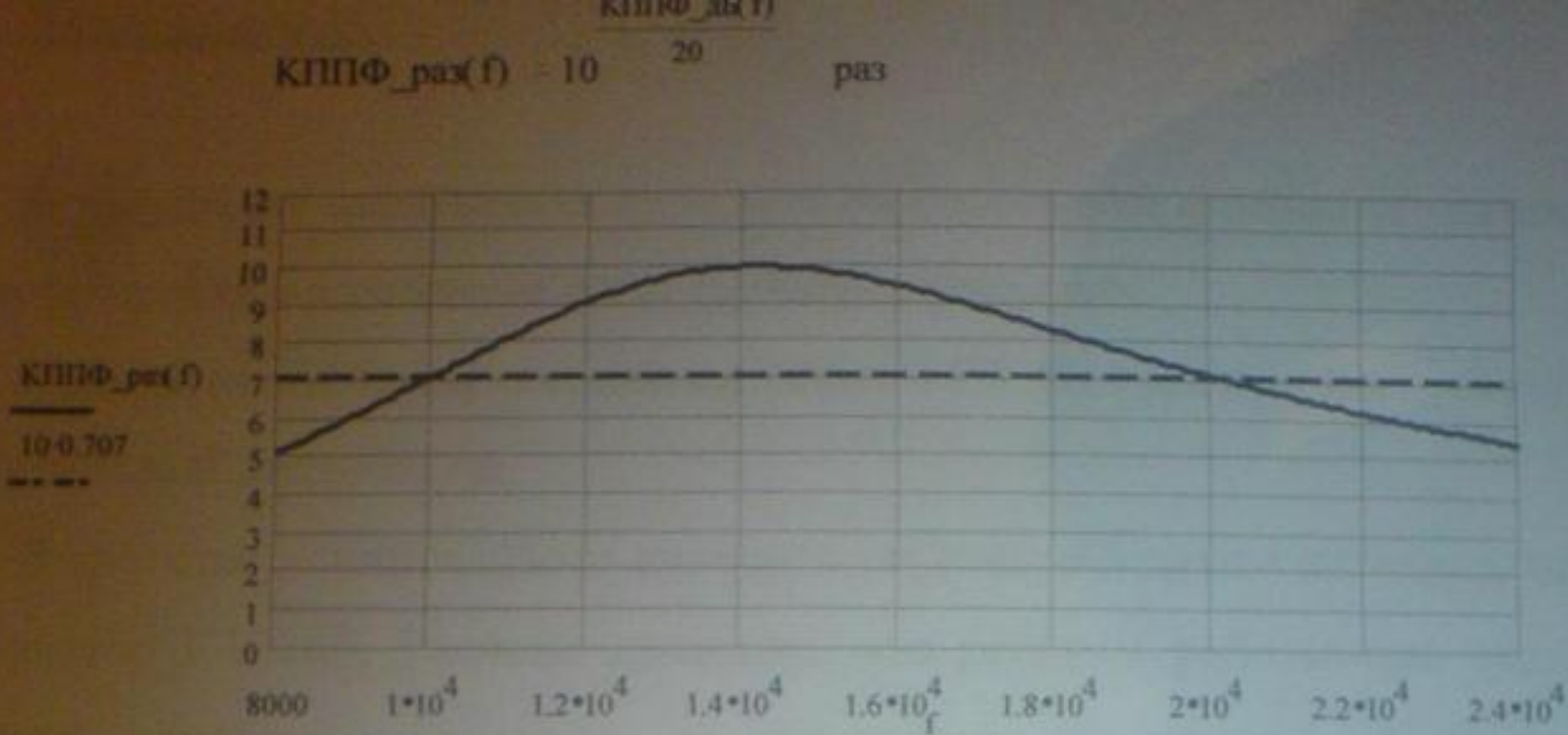


Рисунок 3.9 – АЧХ ППФ для коэффициента передачи в разах

По аналогии с предыдущим расчетом для активного фильтра логично предположить, что для выбранных номиналов мощности рассеивания будут незначительными. Поэтому в качестве резисторов  $R1 - R4$  выбираем С2-3 мощностью 0,125 Вт:  $R1 = 100 \text{ Ом}$ ,  $R2 = 220 \text{ Ом}$ ,  $R3 = 1,6 \text{ кОм}$  и  $R4 = 9,1 \text{ кОм}$  соответственно. Для более точной настройки на частоту среза и коэффициент передачи используем последовательно с  $R4$  включенный подстроечный резистор СП5-22 2,2 кОм на номинальную мощность рассеивания 0,125 Вт.

В качестве емкостей  $C1 = 750 \text{ пФ}$  и  $C2 = 8,2 \text{ нФ}$  выбираем конденсаторы К10-17 ГЗ3 на номинальное напряжение 50 В [4, стр. 28].

В качестве емкостей по цепи питания используем конденсаторы К10-17 Н50 номиналом 0,1 мкФ на номинальное напряжение 50 В и параллельно включенные полярные tantalевые оксидно-полупроводниковые конденсаторы К53-1-20 В-10 мкФ [4, стр. 290].

Чертеж принципиальной электрической схемы, с перечнем элементов для рассчитанного фильтра приведен в приложении.

## Заключение

В результате выполнения курсовой работы спроектирован усилитель постоянного тока и различные виды активных фильтров.

Спроектирована двухкаскадная схема УПТ на транзисторах и схема на интегральной микросхеме.

В качестве усиливального элемента первого и второго каскадов выбран транзистор КТ316Б. Расчеты показали, что режимы работы при заданных входных параметрах усилителя не превышают предельно допустимых для транзисторов.

Синтезированный усилитель на интегральной микросхеме удовлетворяет всем характеристикам, предъявляемым техническим заданием. Использована микросхема К153УД1 в типовом включении.

Синтезированы и рассчитаны все элементы, входящие в активные фильтры: ФНЧ, ФВЧ, ГПФ. В качестве усиливального элемента для реализации фильтров выбран операционный усилитель К154УД2. Построенные характеристики фильтров полностью соответствуют техническому заданию.

В приложении приведены чертежи схем электрических принципиальных усилителей постоянного тока на транзисторе, на интегральной микросхеме, активного ФНЧ, активного ФВЧ и активного ГПФ, рассчитанных в работе, на форматах А4 с перечнями элементов.

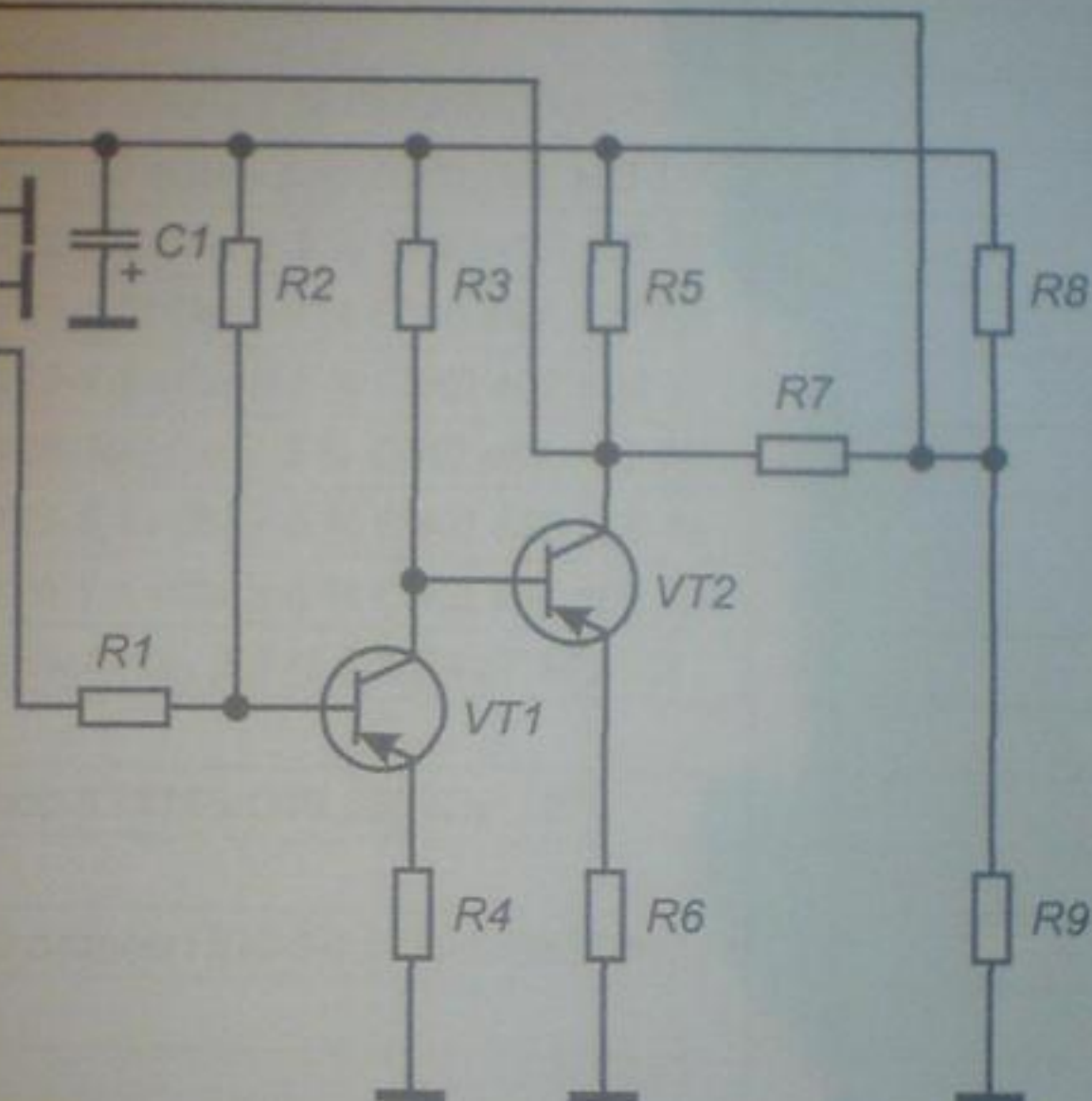
Таким образом, в результате выполнения курсовой работы получены навыки расчета номиналов элементов усилителя постоянного тока и активных фильтров и опыт в выполнении принципиальных электрических схем с перечнем элементов по требованиям ЕСКД и ГОСТов.

## Список литературы

1. Проектирование усилительных устройств: Учеб. пособие / Ефимов В. В., Павлов В. Н., Соколов Ю. П. и др.; под ред. Н. В. Терпугова. – М.: Высшая школа, 1982.
2. Галкин В. И. и др.. Полупроводниковые приборы: Справочник / В. И. Галкин, А. Л. Булычев, В. А. Прохоренко. – 2-е изд., перераб. и доп.. – Мин.: Беларусь, 1987.
3. Резисторы: Справочник / В. В. Дубровский, Д. М. Иванов, Н. Я. Пратусевич и др.; Под ред. И. И. Четверткова и В. М. Терехова. – 2-е изд., перераб. и доп.. – М.: Радио и связь, 1991.
4. Конденсаторы: Справочник/ И. И. Четвертков, М. Н. Дьяконов, В. И. Присняков и др.: Под ред. И. И. Четверткова, М. Н. Дьяконова. – М.: Радио и связь, 1993.
5. Справочная книга радиолюбителя-конструктора / А. А. Бокуняев, Н. М. Борисов, Р. Г. Варламов и др.; Под ред. Н. И. Чистякова. – М.: Радио и связь, 1990.
6. Микросхемы для бытовой радиоаппаратуры. Дополнение третье: Справочник / И. В. Новаченко, В. А. Телец, Л. И. Редькина, Ю. А. Краснодубец. – М.: Радио и связь, 1992.
7. Алексеев А. Г., Войшвилло Г. В. Операционные усилители и их применение. - М.: Радио и связь, 1989.
8. Классификация и обозначение электро- радиоэлементов в конструкторской документации: справочное пособие для курсового и дипломного проектирования. Часть 1. /Сост. В. Н. Леухин. – Йошкар-Ола: МарГИ, 1994.
9. Романычева Э. Т. Разработка и оформление конструкторской документации радиоэлектронной аппаратуры. - М.: Радио и связь, 1989.
10. Сапаров В. Е., Максимов М. И. Системы стандартов в электросвязи и радиоэлектронике. - М.: Радио и связь, 1985.

ХР1

Цель	Конт.
Выход	1
Выход	2
- 12 В	3
Общий	4
Общий	5
Вход	6



КНФУ.656678.001 Э3

Имя	Полиграф	№ документа	Подпись	Дата
Разраб			Макаров А. Н.	
Проек.			Богданова М. И.	
Г. контр				
Н. контр				
Утв.				

Усилитель  
постоянного тока  
Схема электрическая  
принципиальная

Лист	Масса	Масштаб
Лист		
Листов 1		

МарГТУ ЗРРТ-31у

Зарн	Поз. обозн.	Наименование	Кол.	Примечание
		<u>Конденсаторы</u>		
C1		K53-1-20 В -10 мкФ ОЖ0.464.023 ТУ	1	
		<u>Резисторы</u>		
R1		C2-31-0,125-1 кОм ± 5 % ОЖ0.467.103 ТУ	1	
R2		C2-31-0,125-16 кОм ± 5 % ОЖ0.467.103 ТУ	1	
R3		C2-31-0,125-8,2 кОм ± 5 % ОЖ0.467.103 ТУ	1	
R4		C2-31-0,125-470 Ом ± 5 % ОЖ0.467.103 ТУ	1	
R5		C2-31-0,125-1,6 кОм ± 5 % ОЖ0.467.103 ТУ	1	
R6		C2-31-0,125-300 Ом ± 5 % ОЖ0.467.103 ТУ	1	
R7		C2-31-0,125-5,1 кОм ± 5 % ОЖ0.467.103 ТУ	1	
R8		C2-31-0,125-1,1 кОм ± 5 % ОЖ0.467.103 ТУ	1	
R9		C2-31-0,125-1 кОм ± 5 % ОЖ0.467.103 ТУ	1	
VT1, VT2		Транзистор КТ316Б Сб0.336.030 ТУ	2	
ХР1		Гнездовой разъем ПЛС-6-2,5 РБ0.355.020 ТУ	1	

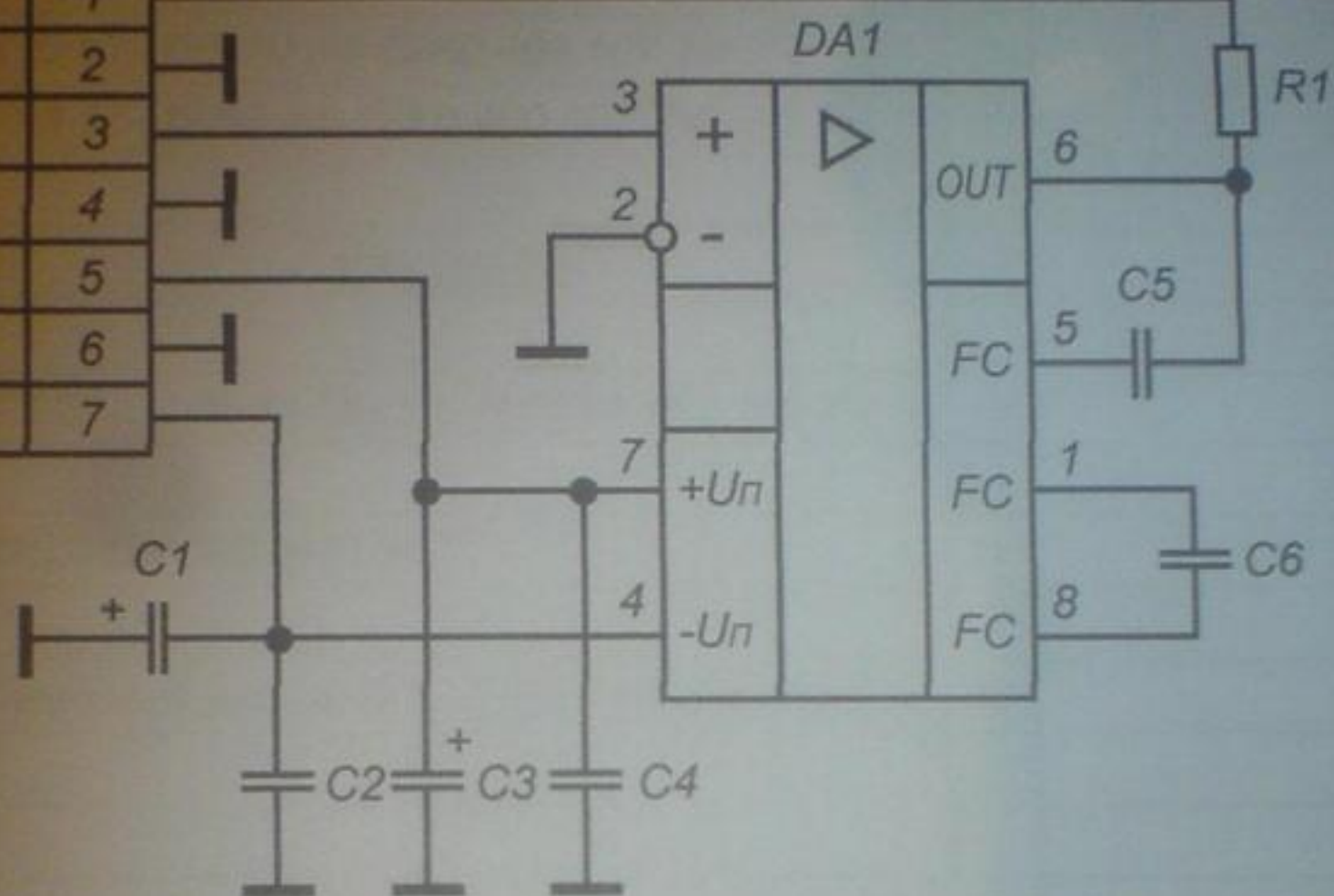
Имя	Лист	Но документа	Подпись	Дата	Лист	Лист	Листов
Разраб.		Моминов А. Н.					
Прим.		Балакрович М.И.					
Н. контр.							
Учеб.							
<b>Усилитель постоянного тока Перечень элементов</b>					1		
					МарГТУ ЗРРТ-31у		

КНФУ.656678.001 ПЭЗ

Усилитель  
постоянного тока  
Перечень элементов

ХР1

Цепь	Конт.
Выход	1
Общий	2
Вход	3
Общий	4
+ 12 В	5
Общий	6
- 12 В	7



КНФУ.656680.001 Э3

Усилитель постоянного тока на ИМС  
Схема электрическая  
принципиальная

Изм	Лист	№ документа	Подпись	Дата
-----	------	-------------	---------	------

Разраб.	Моминов А. Н.
---------	---------------

Прое.	Баспрашев М.И.
-------	----------------

Т. контр.	
-----------	--

И. контр.	
-----------	--

Уров.	
-------	--

Лит.	Масса	Масштаб
------	-------	---------

Лист	Листов
------	--------

МарГТУ ЗРПТ-31у		
-----------------	--	--

Зона	Поз. обозн.	Наименование	Кол.	Примечание
<u>Конденсаторы</u>				
	C1	K53-1-20 В-10 мкФ ОЖ0.464.023 ТУ	1	
	C2	K10-17-Н50-0,1 мкФ ОЖ0.460.107 ТУ	1	
	C3	K53-1-20 В-10 мкФ ОЖ0.464.023 ТУ	1	
	C4	K10-17-Н50-0,1 мкФ ОЖ0.460.107 ТУ	1	
	C5	K10-17-П33-10 пФ ОЖ0.460.107 ТУ	1	
	C6	K10-17-П33-3 пФ ОЖ0.460.107 ТУ	1	
<u>Резисторы</u>				
	R1	C2-31-0,125-51 Ом ± 5 % ОЖ0.467.103 ТУ	1	
	DA1	K153УД1 БК0.347.030 ТУ	1	
	ХР1	Гнездовой разъем ПЛС-7-2,5 РБ0.368.010 ТУ	1	

КНФУ.656680.001 ПЭЗ

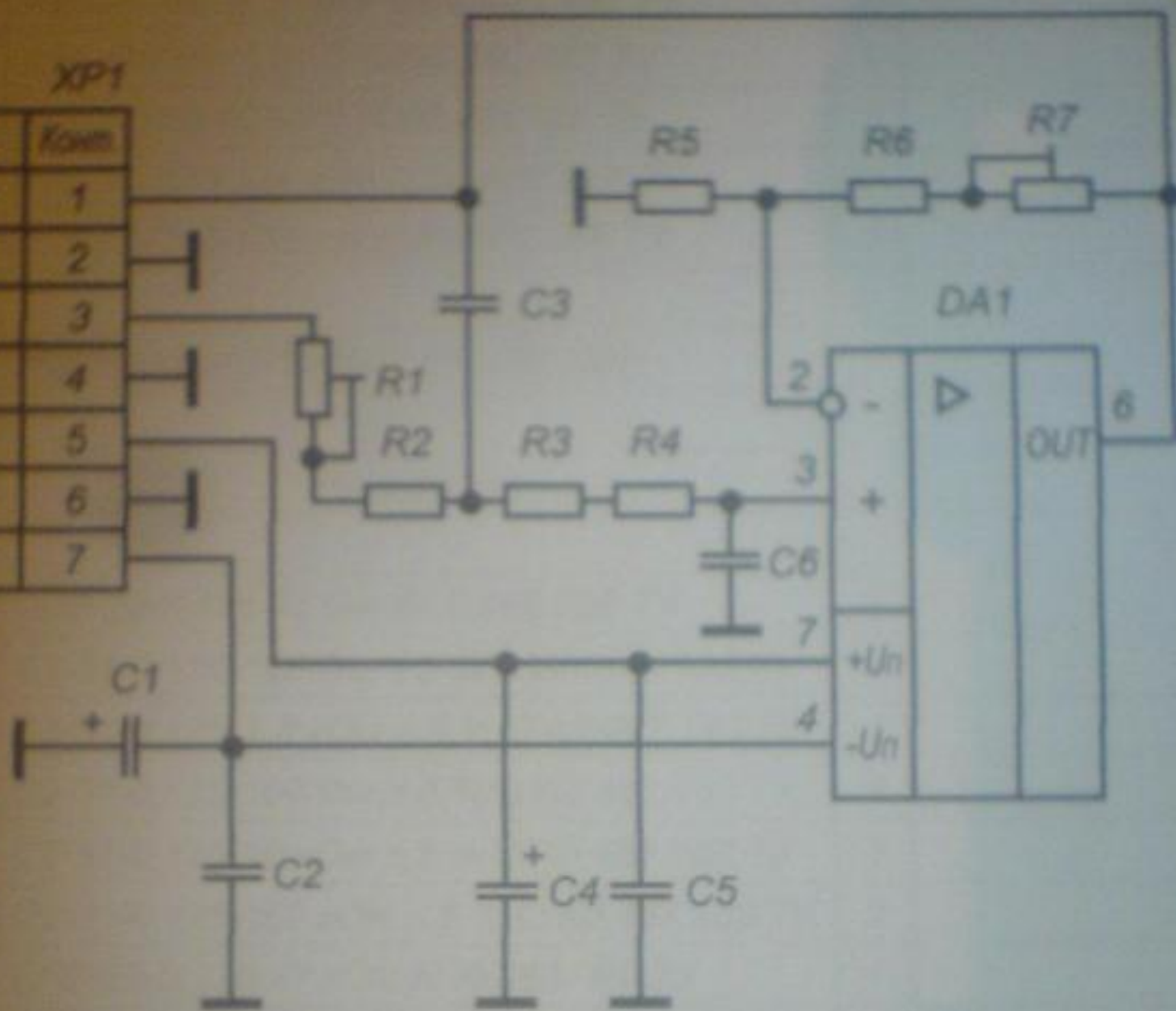
Имя	Лист	Но. документа	Подпись	Дата
Разраб.		Маминов А. Н.		
Прогр.		Бюлтрапка МИ		
Н. контакта				
Усл.				

Усилитель постоянного тока на ИМС  
Перечень элементов

Лист.	Лист	Листов
		1
МарГТУ ЗРРТ-31у		

ХР1

Цифр.	Конт.
Выход	1
Общий	2
Вход	3
Общий	4
+ 15 В	5
Общий	6
- 15 В	7



КНФУ.654622.001 З3

Фильтр низких  
частот на ОУ  
Схема электрическая  
принципиальная

Лист	Максим.	Минимум
1		
Лист	Листок 1	

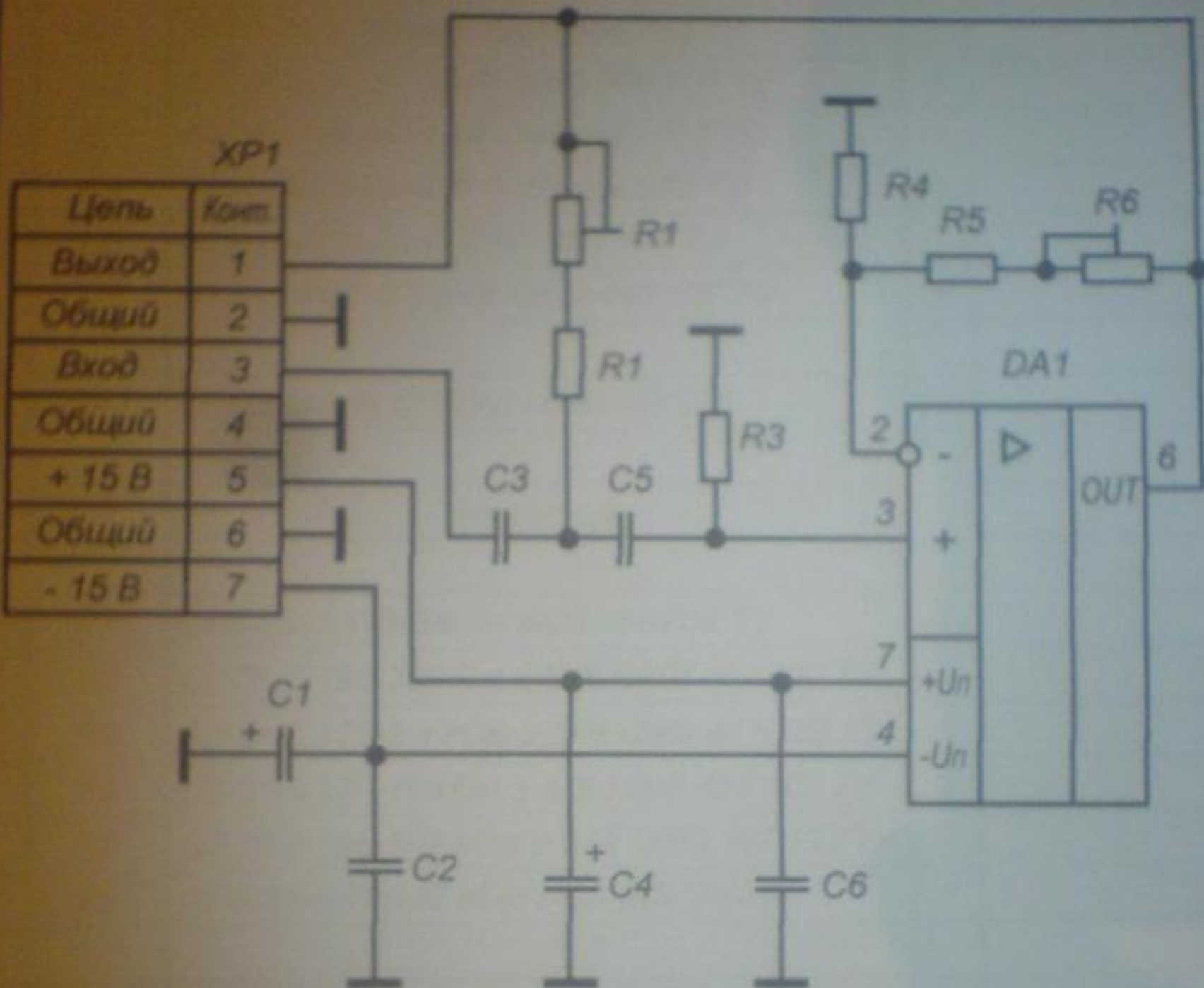
Серия	Номер	Наименование	Параметр	Значение
Разраб.	Минина А. В.			
Груп.	Четвертая			
Т. конструктор				
Н. конструктор				
Учеб.				

МарГТУ ЗРРТ-31у

Зон.	Ноз. обозн.	Наименование	Кол.	Примечание
<u>Конденсаторы</u>				
C1	K53-1-20 В-10 мкФ ОЖ0.464.023 ТУ	1		
C2	K10-17-Н50-0,1 мкФ ОЖ0.460.107 ТУ	1		
C3	K10-17-П33-3,9 нФ ОЖ0.460.107 ТУ	1		
C4	K53-1-20 В-10 мкФ ОЖ0.464.023 ТУ	1		
C5	K10-17-Н50-0,1 мкФ ОЖ0.460.107 ТУ	1		
C6	K10-17-П33-470 пФ ОЖ0.460.107 ТУ	1		
DA1	Микросхема K154УД2 БК0.347.036	1		
<u>Резисторы</u>				
R1	СП5-22-0,125-22 Ом АС0.468.006 ТУ	1		
R2	C2-31-0,125-180 Ом ± 5 % ОЖ0.467.103 ТУ	1		
R3	C2-31-0,125-1,8 кОм ± 5 % ОЖ0.467.103 ТУ	1		
R4	C2-31-0,125-100 Ом ± 5 % ОЖ0.467.103 ТУ	1		
R5	C2-31-0,125-10 кОм ± 5 % ОЖ0.467.103 ТУ	1		
R6	C2-31-0,125-100 кОм ± 5 % ОЖ0.467.103 ТУ	1		
R7	СП5-22-0,125-47 кОм АС0.468.006 ТУ	1		
XP1	Гнездовой разъем ПЛС-7-2,5 РБ0.355.020 ТУ	1		

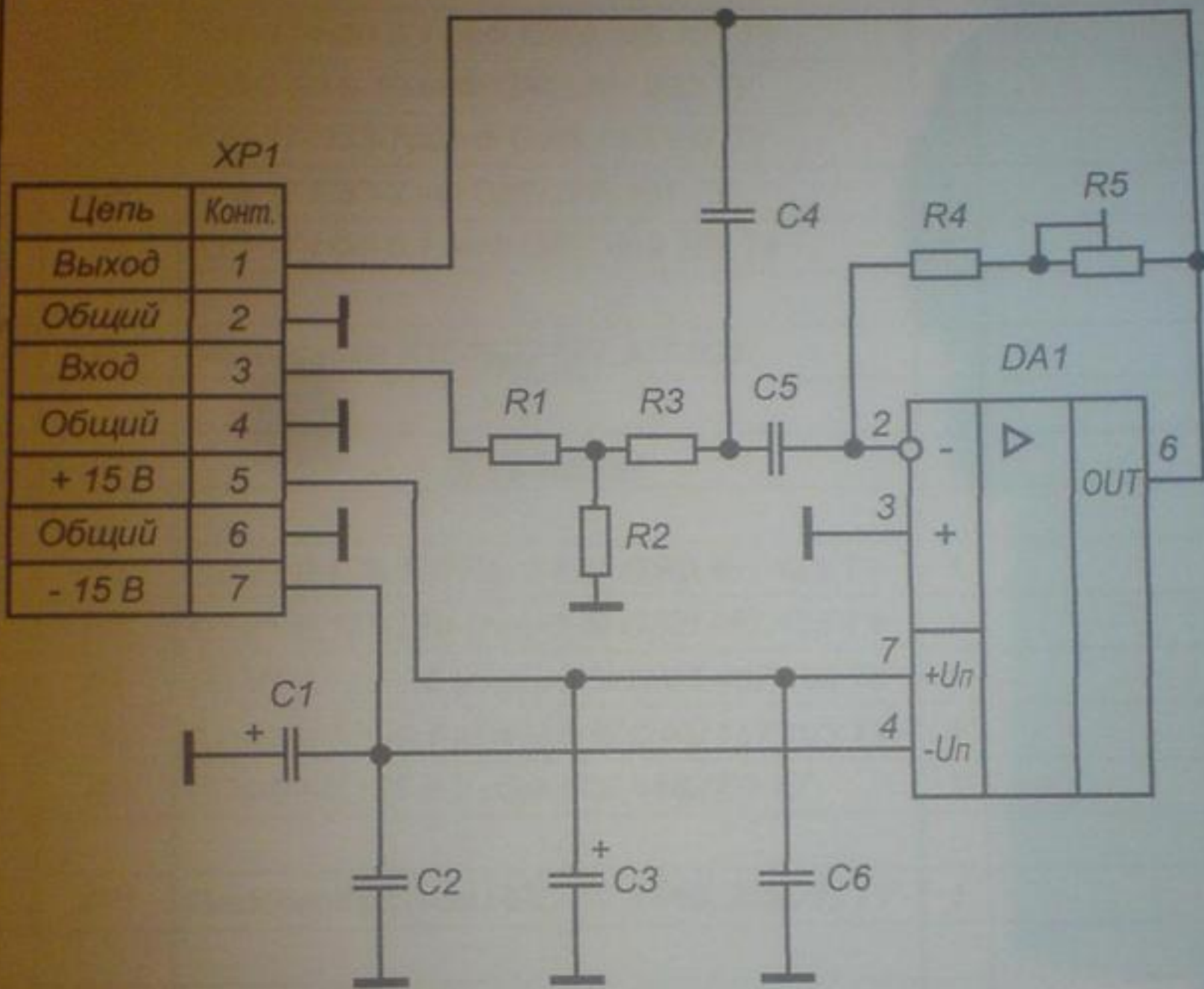
Имя	Лист	№ документа	Подпись	Дата
Рукраб.	Моминов А. Н.			
Прое.	Бактракова М.И.			
Н. констр.				
Утв.				

КНФУ.654622.001 ПЭЗ				
	Лит.	Лист	Листов	
				1
Фильтр нижних частот на ОУ Перечень элементов				
МарГТУ ЗРРТ-31у				



Зона	Поз. обозн.	Наименование	Кол.	Примечание
		<u>Конденсаторы</u>		
	C1	K53-1-20 В-10 мкФ ОЖ0.464.023 ТУ	1	
	C2	K10-17-Н50-0,1 мкФ ОЖ0.460.107 ТУ	1	
	C3	K10-17-П33-470 пФ ОЖ0.460.107 ТУ	1	
	C4	K53-1-20 В-10 мкФ ОЖ0.464.023 ТУ	1	
	C5	K10-17-П33-2 нФ ОЖ0.460.107 ТУ	1	
	C6	K10-17-Н50-0,1 мкФ ОЖ0.460.107 ТУ	1	
	DA1	Микросхема K154УД2 БК0.347.036	1	
		<u>Резисторы</u>		
	R1	СП5-22-0,125-22 Ом АС0.468.006 ТУ	1	
	R2	C2-31-0,125-300 Ом ± 5 % ОЖ0.467.103 ТУ	1	
	R3	C2-31-0,125-2,4 кОм ± 5 % ОЖ0.467.103 ТУ	1	
	R4	C2-31-0,125-10 кОм ± 5 % ОЖ0.467.103 ТУ	1	
	R5	C2-31-0,125-100 кОм ± 5 % ОЖ0.467.103 ТУ	1	
	R6	СП5-22-0,125-47 кОм АС0.468.006 ТУ	1	
	XP1	Гнездовой разъем ПЛС-7-2,5 РБ0.355.020 ТУ	1	

Изм	Лист	№ документа	Подпись	Дата	КНФУ.654644.001 ПЭЗ		
Ред.п.		Моминой А. Н.					
Проек.		Биокомплекс МИ					
Н. контр.							
Утв.							
					Фильтр верхних частот на ОУ Перечень элементов	Лит.	Лист
							Листов
							1
						МарГТУ ЗРРТ-31у	



КНФУ.654665.001 Э3

Полосно-пропускающий  
фильтр на ОУ  
Схема электрическая  
принципиальная

Лит.	Масса	Масштаб
Лист		Листов 1
МарГТУ ЗРПТ-31у		

Знач	Поз. обозн.	Наименование	Кол.	Примечание
		<u>Конденсаторы</u>		
C1	K53-1-20 В-10 мкФ ОЖ0.464.023 ТУ	1		
C2	K10-17-Н50-0,1 мкФ ОЖ0.460.107 ТУ	1		
C3	K53-1-20 В-10 мкФ ОЖ0.464.023 ТУ	1		
C4	K10-17-П33-750 пФ ОЖ0.460.107 ТУ	1		
C5	K10-17-П33-2 нФ ОЖ0.460.107 ТУ	1		
C6	K10-17-Н50-0,1 мкФ ОЖ0.460.107 ТУ	1		
DA1	Микросхема K154УД2 БК0.347.036	1		
	<u>Резисторы</u>			
R1	C2-31-0,125-100 Ом ± 5 % ОЖ0.467.103 ТУ	1		
R2	C2-31-0,125-220 Ом ± 5 % ОЖ0.467.103 ТУ	1		
R3	C2-31-0,125-1,6 кОм ± 5 % ОЖ0.467.103 ТУ	1		
R4	C2-31-0,125-9,1 кОм ± 5 % ОЖ0.467.103 ТУ	1		
R5	СП5-22-0,125-2,2 кОм АС0.468.006 ТУ	1		
XP1	Гнездовой разъем ПЛС-7-2,5 РБ0.355.020 ТУ	1		

КНФУ.654665.001 ПЭЗ

Изм.	Лист	№ документа	Подпись	Дата
Реклаб.	Моминов А. Н.			
Прок.	Баскакова МИ			
Н. контр				
услуг				

Полосно-пропускающий  
фильтр на ОУ  
Перечень элементов

Лист.	Лист	Листов
		1
МарГТУ ЗРРТ-31у		

## 2 Усилитель постоянного тока в интегральном исполнении

Для выбора усилителя постоянного тока в интегральном исполнении вычислим некоторые параметры усилителя.

При выборе микросхемы необходимо также учитывать, чтобы в типовом включении обеспечивались параметры:

- напряжение питания, В ..... 12;
- приращение входного напряжения, мВ ..... 12;
- приращение выходного напряжения, В ..... 6;
- выходное напряжение в режиме покоя, В ..... 0.

В качестве интегрального усилителя постоянного тока по результатам обзора выберем [7, стр. 8 - 13] микросхему К153УД1.

Микросхема К153УД1

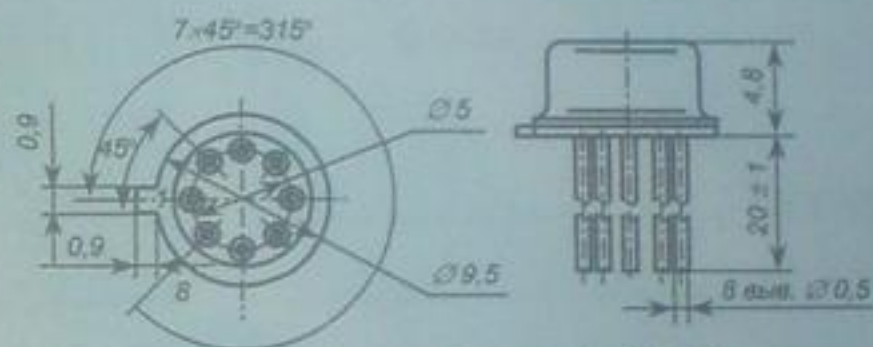


Рисунок 2.1 - Корпус 301.8-2

представляет собой операционный усилитель среднего класса точности. Характеризуется высоким коэффициентом усиления напряжения, малым напряжением смещения нуля, большим входным и малым выходными сопротивлениями. Выполнена по планарно-эпитаксиальной технологии на биполярных транзисторах с изоляцией элементов обратно смещенными  $p-n$  переходами. Общее число интегральных

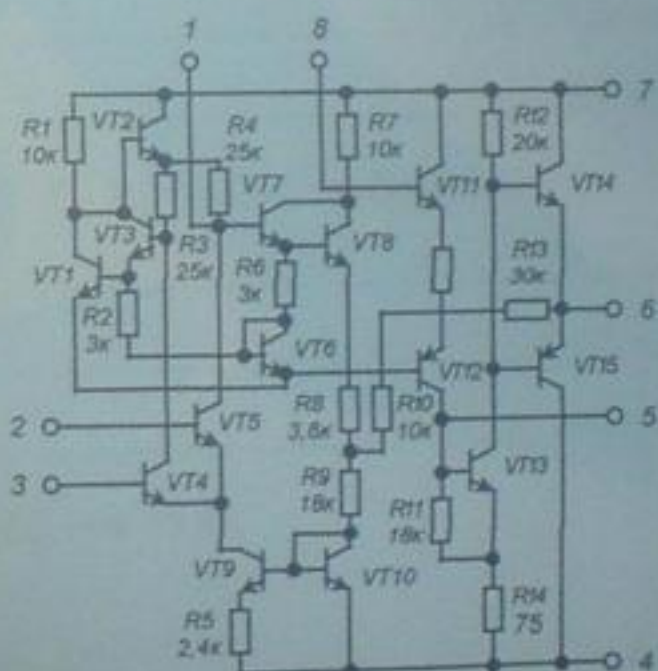


Рисунок 2.2 – Принципиальная электрическая схема К153УД1

граильных элементов 29. Корпус типа 301.8-2 (рис. 2.1). Масса не более 1,5 г.

*Назначение выводов:* 1, 5, 8 - для подключения цепей частотной коррекции; 2 - инвертирующий вход; 3 - не инвертирующий вход; 4 - напряжение питания ( $-U_{\text{П}}$ ); 6 - выход; 7 - напряжение питания ( $+U_{\text{П}}$ ).

### Основные параметры

Номинальное напряжение питания (двухполлярное) .....  $\pm 15$  В.

Ток потребления при  $U_{\text{П}} = \pm 16,8$  В,  $R_{\text{H}} \geq 10$  кОм, не более:

$T = + 25$  и  $+ 85$  °C ..... 6 мА;

$T = - 45$  °C ..... 8 мА.

Максимальное выходное напряжение при  $U_{\text{П}} = \pm 15$  В,

$U_{\text{ВХ}} \geq 0,1$  В, не менее:

$T = + 25$  °C .....  $\pm 10$  В;

$T = + 85$  и  $- 45$  °C .....  $\pm 9$  В.

Напряжение смещения нуля при  $U_{\text{П}} = \pm 16,5$  В,  $R_{\text{H}} \geq 10$  кОм,

$R_{\text{F}} \leq 10$  кОм, не более:

$T = + 25$  °C ..... 7,5 мВ;

$T = + 85$  и  $- 45$  °C ..... 10 мВ.

Входной ток при  $U_{\text{П}} = \pm 16,5$  В,  $R_{\text{H}} \geq 10$  кОм, не более:

$T = + 25$  °C ..... 1,5 мкА;

$T = + 85$  °C ..... 1,8 мкА;

$T = - 45$  °C ..... 2,0 мкА.

Разность входных токов при  $U_{\text{П}} = \pm 16,5$  В,  $R_{\text{H}} \geq 10$  кОм, не более:

$T = + 25$  °C ..... 0,5 мкА;

$T = + 85$  °C ..... 0,75 мкА;

$T = - 45$  °C ..... 1,0 мкА.

Коэффициент усиления напряжения при  $U_{\text{П}} = \pm 15$  В,

$U_{\text{ВЫХ}} = \pm 8$  В,  $R_{\text{H}} = 2$  кОм, не менее:

$T = + 25$  °C .....  $1,5 \cdot 10^4$ ;

$T = + 85$  и  $- 45$  °C .....  $9 \cdot 10^3$ .

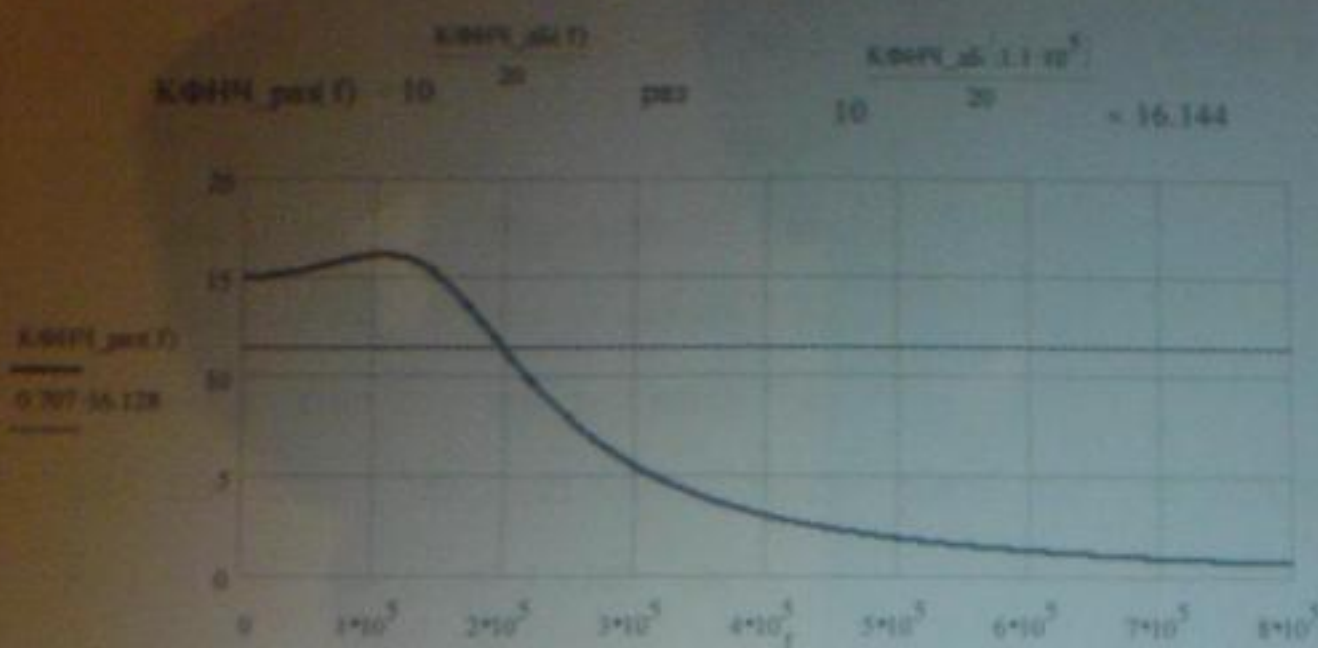


Рисунок 3.3 – АЧХ ФНЧ для коэффициента передачи в разах

Таким образом, рассчитанные значения элементов:  $R_{1,1} = 180 \text{ Ом}$ ;  $R_{1,2} = 22 \text{ Ом}$ ;  $R_{2,1} = 1,8 \text{ кОм}$ ;  $R_{2,2} = 100 \text{ Ом}$ ;  $R_3 = 10 \text{ кОм}$ ;  $R_4 = 140 \text{ кОм}$ ;  $C_1 = 3,9 \text{ нФ}$ ;  $C_2 = 470 \text{ пФ}$ .

Рассчитаем мощности, рассеивающиеся на резисторах используя законы Ома и Кирхгофа с помощью программы MathCad. При расчетах полагаем:

- 1). максимальное выходное напряжение на выходе операционного усилителя составляет не более 10 В при напряжении питания  $\pm 15 \text{ В}$ ;
- 2). при коэффициенте передачи ОУ равное 15, максимальное входное

$$\text{напряжение } U_{\text{вх}} = \frac{U_{\text{вых}}}{K_U} = \frac{10}{15} = 0,75 \text{ В.}$$

### 3.3 Полосовой фильтр

Для получения сравнительно узкой полосы частот, близкой к единице относительной  $f_0/f_{\text{рез}}$ , требуется малое значение добротности  $Q$ , порядок смыше 10.

В таких случаях удобен фильтр (рис. 3.7), характеризуемый следующими параметрами:

$$K_p = \frac{U_2}{U_1} = \frac{k_2 R_2}{R_1}, \quad (3.17)$$

$$k_2 = \frac{R_1}{R_1 + R_2}, \quad (3.18)$$

$$R_{\text{вх}} = R_1 R_2 / (R_1 + R_2) = k_2 R_1 = R_1. \quad (3.19)$$

$$f_0 = \frac{1}{2\pi \sqrt{C_1 R_1 C_2 R_2}}. \quad (3.20)$$

$$Q = \sqrt{\frac{C_1 R_2}{C_2 R_1}}, \quad (3.21)$$

Помимо выделенных резисторов  $R_1$  и  $R_2$  придают устройству большую гибкость в смысле реализации требований, предъявленных к коэффициенту усиления и добротности.

Число неизвестных параметров превышает число уравнений на два, поэтому для них из неизвестных следует присвоить числовые значения.

Выборах  $R_1 = 1 \text{ кОм}$ ,  $R_2 = 10 \text{ кОм}$ ,  $C_1/C_2 = 0,5$ , с помощью равенства (3.16) получим

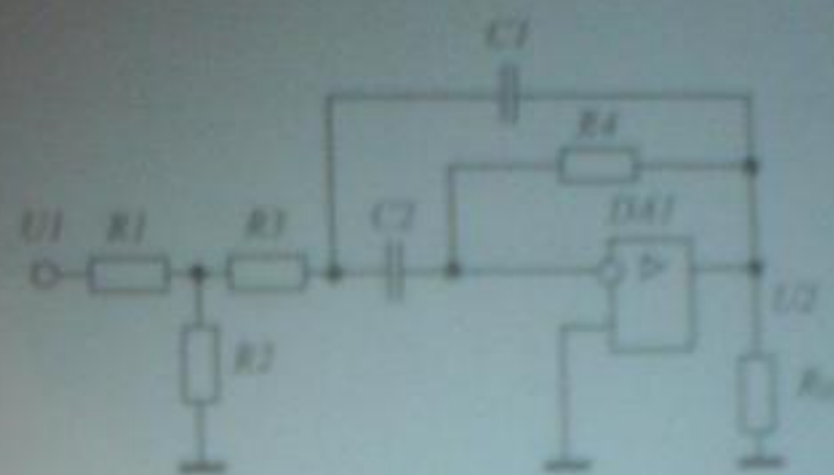


Рисунок 3.7 - Схема резонансного полосового фильтра.

### 3.3 Полосовой фильтр

Для выделения сравнительно узкой полосы частот, близкой к единице отношения  $f_{C2}/f_{C1}$ , требуется высокое значение добротности  $Q$ , нередко выше 10.

В таких случаях удобен фильтр (рис. 3.7), характеризуемый следующими параметрами:

$$K_\phi = \frac{U_2}{U_1} = \frac{k_D R_4}{R_{12}}, \quad (3.17)$$

$$k_D = \frac{R_2}{R_1 + R_2}, \quad (3.18)$$

$$R_{12} = R_1 \| R_2 + R_3 = k_D R_1 + R_3, \quad (3.19)$$

$$f_0 = \frac{1}{2\pi\sqrt{C_1 R_{12} C_2 R_4}}, \quad (3.20)$$

$$Q = \sqrt{\frac{C_1 R_4}{C_2 R_{12}}}, \quad (3.21)$$

Дополнительно введенные резисторы  $R_1$  к  $R_2$  придают устройству большую гибкость в смысле реализации требований, предъявленных к коэффициенту усиления и добротности.

Число неизвестных параметров превышает число уравнений на два, поэтому двум из неизвестных следует придать числовые значения.

Выбирая  $R_1 = 1$  кОм,  $R_4 = 10$  кОм,  $C_1/C_2 = 0,5$ , с помощью равенства (3.14) находим

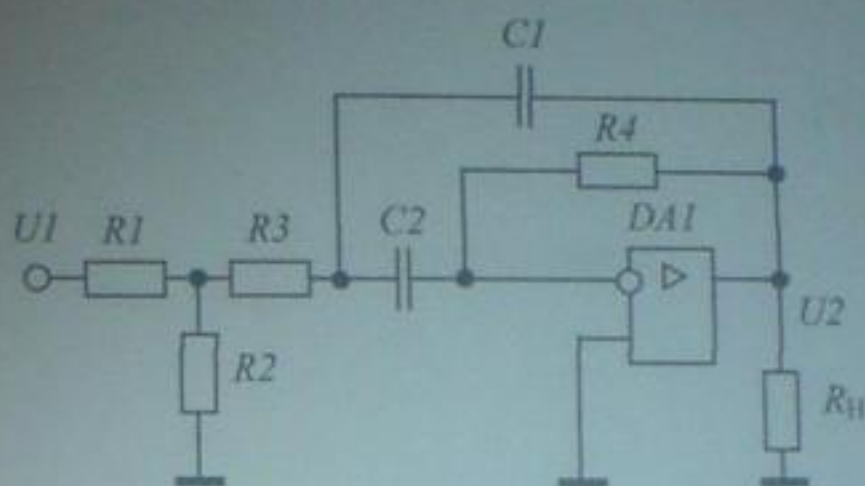


Рисунок 3.7 - Схема резонансного полосового фильтра